

Intro. Данный документ создан на базе лекций, прочитанных Коржимановым А.В. 430-й группе радиофака ННГУ в 2018-2019 году. Лекции записала Разова А.А., отсканировал Виноградов Илья, перевел в pdf-формат и добавил содержание Сарафанов Ф.Г., 430 группа радиофака, 2019 год.

Содержание кликабельно, при нажатии на раздел произойдет переход к нужной странице. Курсивом набраны разделы, названия которых в лекциях не записаны, но структурно они отражают тему данного раздела.

Содержание

Атомная физика	3
Многоэлектронные атомы	3
<i>Спин-орбитальное взаимодействие многоэлектронного атома</i>	4
L-S связь	4
j-j связь	6
Правила отбора	8
Эффект Зеемана	9
Простой эффект Зеемана	10
Сложный эффект Зеемана	11
Эффект Пашена-Бака	12
Магнитный резонанс	13
Эффект Штарка	14
Многоэлектронные квантовые системы	15
Принцип запрета Паули	16
Периодическая система Менделеева	17
Атом гелия	18
Химическая связь. Молекула водорода	20
Основы физики твердого тела	21
Квантовая статистика	21
Вырожденный идеальный газ	28
Критерий невырожденности ИГ	31
Теплоемкость твердых тел	32
Теория Дебая	34
Зонная структура кристаллических твердых тел. Волны Блоха	37
Волны Блоха (электрон в периодическом потенциале)	38
Электропроводность	43
Физика атомного ядра и элементарных частиц	45

Физика атомного ядра	45
Характеристики атомного ядра	46
Спин ядра и сверхтонкая структура спектральных линий	46
Масса ядра и энергия связи нуклонов в ядре	48
Модели ядра	49
Радиоактивность	51
Типы радиоактивных распадов	52
Закон радиоактивного распада	52
Элементарные частицы	53
Представление о квантовой электродинамике и диаграммы Фейнмана	53
Сильное ядерное взаимодействие	55
Изотопический спин	56
Странные частицы	57
Кварки	58
Конфайнимент	61
Слабое ядерное взаимодействие	62
Нейтрино	64
Бозон Хиггса	67
Стандартная модель. Темное вещество	68
Классификация элементарных частиц	69
Фундаментальное взаимодействие	70
Законы сохранения	71
За пределами стандартной модели	73
Квантовая теория гравитации	74

нужно решать, формулы. Ур-ние Шредингера не подходит. Надо его обобщить.

Решив, обобщ. ур-ние Шредингера - ур-ние Дирака.
(для водорода она решается, решение можно в виде ряда представить)

В ур-нии Шр-ра так:

$$E_n = -\frac{R}{n^2}$$

В ур-нии Дирака в 0-м приближении так же, но в других приближениях поправки

$$E_{nj} = -\frac{R}{n^2} - \alpha^2 \frac{R}{n^3} \left(\frac{1}{j+1/2} - \frac{3}{4n} \right) + O(\alpha^4)$$

$$\alpha - \text{константа тонкой структуры} \quad \alpha = \frac{e^2}{\hbar c} = \frac{1}{137}$$

В этом приближении нет все решаемые поправки (о.е. на массу, релативист, спин, спин-орбит, спин-спин)

$$n=1, l=0, j=1/2 \text{ и } 1/2 \Rightarrow j=1/2 \text{ для уровней не различимых}$$

$$\neq E_{1,1/2} = -R \left(1 + \frac{\alpha^2}{4} \right) \approx 10^{-5}$$

Чем больше n и j тем меньше поправка.

Тем не менее спектральный помехов виден до различение

Эта ф-ла справедлива только для атома водорода до различение на-ся тонкая структура энергетических уровней

Многоэлектронные атомы.

Много электронов - у каждого спиновый момент \vec{S} нужно еще и все их просуммир.

Можно составить полный момент

$$\vec{J} = \sum_i (\vec{L}_i + \vec{S}_i)$$

Можно \neq и поделить и смотреть на них.

Есть приближение, в котором, что есть поделить, в шестой ф-лу. обозначение

Приближение $L-S$ связи (нормальное, Расселл-Саундерс) 3
 приближение $j-j$ связи.

$L-S$ связь.

Работает когда λ_{L-S} больше или равно чем спин-орбитное λ_{S-O} (легкие атомы)

Можно считать что эти электроны, их орбитали не коррелируются, но можно говорить, что орбитальное движение упрощается за счет λ_{L-S} и спин-орбитальное мало.

Электрон движется как единое целое

$$\vec{L} = \sum_i \vec{L}_i, \quad \vec{S} = \sum_i \vec{S}_i$$

Тогда описание системы сводится к 3 числам.

$$\vec{J} = \vec{L} + \vec{S}$$

то S, L, J .

Здесь мы можем написать уравнения

$$\vec{J}^2 = \hbar^2 J(J+1)$$

$$\vec{L}^2 = \hbar^2 L(L+1)$$

$$\vec{S}^2 = \hbar^2 S(S+1)$$

Орбиталь, момент импульса, он может быть только целым \Rightarrow число L -отное число

то сумма моментов импульса спинов, S -не целое и число. И сумма будет целой или нецелой зависит от S .

S -целое - если четное кол-во электронов

S -полуцелое - если нечетное кол-во электронов

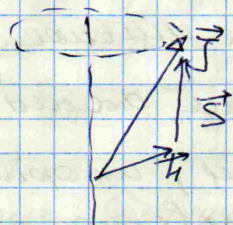
J -сумма S и L , целая/полуцелая числа

J совпадает с целой или полуцелой S

$$J^2 = |L-S|, \dots, L+S$$

Внеш. оболочки. Электрон находится в центр-симметр. поле, \Rightarrow в такой системе сохраняется момент импульса. Θ и φ - ободу коор-ты

$\Rightarrow \vec{J}$ - сохраняется



Вообще говоря она равномерно ротируется по окруж., но её проекция сохраняется

Но $\vec{J} = \vec{L} + \vec{S}$

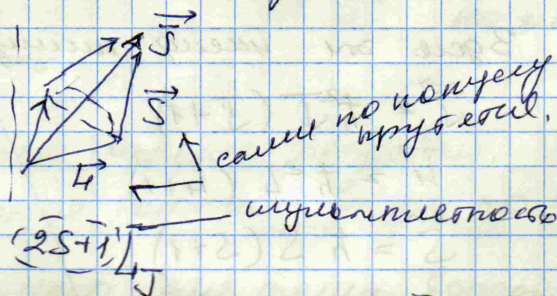
и \vec{L} и \vec{S} вращаются друг к другу и \vec{S} никак не обещает. Они могут уменьшаться.

И их уменьшение и есть спино-орб. В. в. в. в.

С-о, в-в. в. в. не сильно различаются уровни и иногда достаточно сильного взаимодействия может изменить L и S (о.к. с одного уровня переходя на другой).

L и S не сохраняются проекцию на ось.

L и S вращаются процессом вокруг \vec{J} в силу неопределенности.



- $L = 0$ S
- $L = 1$ P
- $L = 2$ D
- $L = 3$ F

$^2P_{3/2}$ $J = 3/2$
 сел-ст $S = 1/2$

Мульти-об. д.т.т. совпадают с числом подуровней. Но \neq не всегда так.

Когда $S \leq L$ - число подуровней $2S+1$

Когда $L \leq S$ - число подуровней $2L+1$

Пример.

Будет это атом с двумя валентными электронами (т.е. на внеш. оболочке)

$\Rightarrow S = \frac{1}{2} - \frac{1}{2} = 0$ или $S = \frac{1}{2} + \frac{1}{2} = 1$

\Downarrow
 $J = L$ $J = |L-1|, L, L+1$

$$2S+1=1$$

такие уровни называются

$$^1S_0, ^1P_1, ^1D_2, ^1F_3$$

$$2S+1=3$$

и называются когда $L=0$.

$$^3S_0, ^3S_1$$

группы (не разрешенной)

Когда $L=1, \infty$ $^3P_0, ^3P_1, ^3P_2$

Когда $L=2, \infty$ $^3D_1, ^3D_2, ^3D_3$

или на языке химии $3s^2 3p^6 3d^2$

$$j-j' - \text{связь}$$

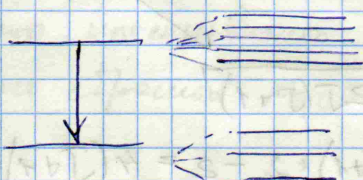
Когда спин-орбитальное l_j -вие много больше чем l/l_s l_j -вие (темные электроны)

Электроны взаимодействуют между собой. На внешние мало воздействует. Электрон как сам по себе. У электрона есть свой момент импульса

$$\vec{J}_i = \vec{S}_i + \vec{L}_i$$

А сложение характеров совокупности $\{J_i\}$

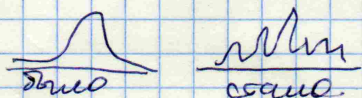
Сами энергетич. уровни не видны. Их над-то с помощью излучения электронов. Для определен- ный спектр надо знать структуру энерг. уровней не достаточно. Нужны правила отбора (они запрещают переход между некоторыми уровнями)



Добавим спин-орбитальное l_j -вие \Rightarrow разрешенное l_j

\Rightarrow Возможное 15 линий

Теперь есть два одна линия, ∞ мы видим зрелую



Правила отбора берется из J на сохр. момента

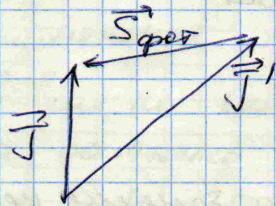
В каждом атоме содержится сох-ся момент импульса.
 Если момент импульса у фотона (а именно спин-он связан с поперизацией)

$S_{фот} = 1$ - модуль спина электрона

$$\vec{J} = \vec{J}' + \vec{S}_{фотона}$$

\Rightarrow переходы $J=0$ и $J'=0$ - запрещены

Нужно помнить, если есть J , то какие J' могут быть при условии наличия $\vec{S}_{фотона}$ и J сохр. или импульса



Сформулируем, что $|\vec{J}'| \geq J$

$$\Rightarrow |\vec{J}'| \leq |\vec{J}| + |\vec{S}_{фот}|$$

\uparrow не уменьшаясь

правило треугольника

Но уравни определим квантовые числа

$$\sqrt{\hbar^2 J'(J'+1)} \leq \sqrt{\hbar^2 J(J+1)} + \sqrt{\hbar^2 S_{фот}(S_{фот}+1)}$$

$$S_{фот} = 1$$

$$\Rightarrow \sqrt{J'(J'+1)} \leq \sqrt{J(J+1)} + \sqrt{2}$$

Введём $\Delta J = J' - J \geq 0$ - по нашему условию,
 т.к. J' и J - кванты одного электрона \Rightarrow они либо
 оба целых, либо оба полуцелых $\Rightarrow \Delta J$ - целое

$$\Delta J^2 + (2J+1)\Delta J - 2 \leq 2\sqrt{2J(J+1)}$$

Левая часть с ростом ΔJ растёт.

Это неравенство выполняется для $\Delta J=0$ или $\Delta J=1$.

$$-2 \leq 2\sqrt{2J(J+1)}$$

$$1 + (2J+1) \cdot 1 - 2 \leq 2\sqrt{2J(J+1)}$$

Если же $\Delta J=2$, то $4 + (2J+1) \cdot 2 - 2 = 4(J+1) > 2\sqrt{2J(J+1)}$
 не выполняется

$$\Rightarrow \Delta J=0, \Delta J=1.$$

Если \neq когда $|\vec{J}'| \leq J$, то $\Delta J \leq 0 \Rightarrow$

$$\Delta J=0, -1$$

Тогда при переходе возможны переходы при излучении одного фотона при условии

$$\Delta J = 0, \pm 1, \text{ но } J=0, J'=0 \text{ - запрещены,}$$

$$\Delta m_J = m_{J'} \quad m_J = 0, \pm 1$$

$$(S_{\varphi z} = -\hbar, 0, \hbar)$$

$$m_{S\varphi} = -1, 0, 1$$

$$m_{J'} = m_J - m_{S\varphi}$$

Эти правила строгие. Они всегда верны вышесказанного всегда.

Несогласие правила отбора.

Есть - релятивистский эффект. Энергия фотона \ll энергии покоя электрона $E_{\varphi} \ll m_0 c^2 \Rightarrow$ слабо взаимодействует со спином. Формально всегда можно считать, что

$$\Delta S = 0 \Rightarrow \Delta J \text{ зависит от } \Delta L = 0, \pm 1,$$

переходы с отрицательным ΔS не запрещены, но у них меньше интенсивность (можно заметить)

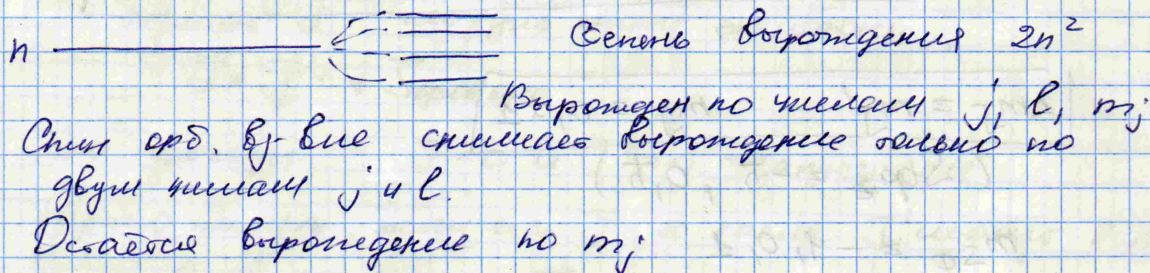
Замечание.

- 1) Фреднологичи, то у нас однородные процессы
- 2) Всплыву э/м процессы
- 3) Запрещенные переходы не запрещены абсолютно, просто интенсивность малая. Можно излучить если сбросить куда-то момент импульса.

Эффект Зеемана

Расщепление линий во внешнем маг. поле

Расщепление там где вырождение



$m_j = -j, -j+1, \dots, j$

зависит от того сколько электронов (будет четным / нечетным)

Нужно выделить направление по ъ-полю и вращаться.

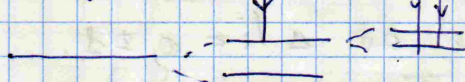
В m_j - это неч. Нужно внешнее поле.

здесь разность j и l

разность m_j



Когда поле сильнее, а это ↑ сигнал уменьшается.



Наблюдал Зееман 1896г.

Эффект Зеемана

нормальный (классический)

аномальный (квантовый)

Видно одной линией пополнилось три - каж-ся Меркельвский триплет.



↑ может быть много колебаний

Можно объяснить с класс. точки зрения

Здесь не играет роль спин (переход между уровнями где $l_{min} = 0$)

Играет роль только орбитальное движение

циркулярное движение связано с ъ-вием магнитного момента

Гроссман эффект Зеемана

$$E = E_0 - (\vec{\mu} \vec{B}) = E_0 - \mu_z B \quad \vec{B} = B \vec{z}_0$$

Если квант спина - проекция импульса и квант равен магнетрону Бора

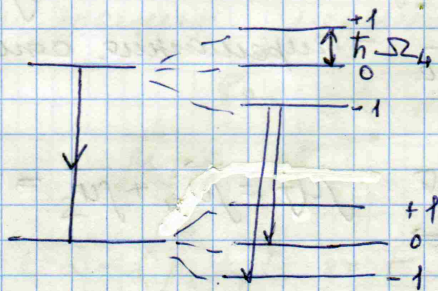
$$\begin{aligned} \mu_z &= m_l \mu_B = (m_l \cdot m_j) \\ &= m_l \frac{e\hbar}{2m_e c} \end{aligned}$$

↑ масса электрона

$$E = E_0 - m_l \frac{e\hbar B}{2m_e c} = E_0 - m_l \hbar \Omega_L$$

Квант $\hbar \Omega_L$ где $\Omega_L = \frac{eB}{2m_e c}$ - ларморовская частота

$$m_l = -l, \dots, 0, \dots, l$$



Вероятно многократно
в переход
(а это один)
Но есть правила отбора
 $\Delta m_l = 0, \pm 1$

Когда переход между -1 и -1 , 0 и 0 , $+1$ и $+1$ здесь частота равна изначальной частоте, при других либо увеличивается либо уменьшается на Ω_L

$$\omega = \omega_0 - \Omega_L m_l$$

$$\begin{array}{ccc} \omega_0 - \Omega_L & \omega_0 & \omega_0 + \Omega_L \\ \downarrow & \downarrow & \downarrow \\ \omega_0 - \frac{\Omega_L}{5} & \omega_0 & \omega_0 + \frac{\Omega_L}{5} \end{array}$$

Эти три компонента имеют определенную поляризацию.

Все зависит от проекции момента импульса фотона.

Если $0, \infty$ ∞ имеет полярную поляризацию, тогда у нашего электрона π -поляризация, Если у

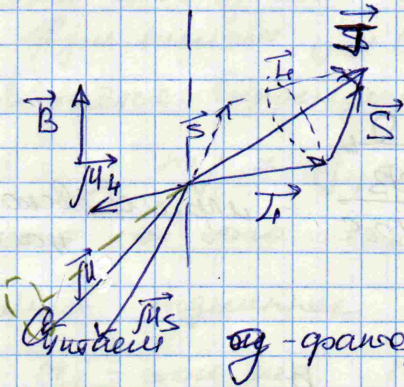
фотона $\pm 1, \infty$ ∞ круговая поляризация, тогда у нашего электрона σ -поляризация

Сложение эффекта Зеемана

Если гирь стин. $\neq L-S$ -эффект

Здесь прецессирующая орбитальная момент

Если выделенное направление совпадает с осью \vec{B}



\vec{L} и \vec{S} прецессирует

С моментами инерции связаны магнитные моменты

$$\vec{\mu}_L = -g_L \vec{L} \Gamma$$

$$\vec{\mu}_S = -g_S \vec{S} \Gamma$$

где Γ - гиромагнетон - безразмерный, поэтому
 где размерности $\Gamma = \frac{e \hbar}{2m_e c}$ - гиромагнетон. отношение

$$g_L = 1, g_S = 2$$

Возьмем полный момент $\vec{\mu} = \vec{\mu}_L + \vec{\mu}_S =$

$$= -(g_L \vec{L} + g_S \vec{S}) \Gamma \vec{J}$$

Магнитный момент не имеет одной проекции, нужно усреднить

$$\hat{J} = \hat{L} + \hat{S}$$

$$\hat{J}^2 = \hat{L}^2 + \hat{S}^2 + 2(\hat{L}, \hat{S})$$

$$(\hat{L}, \hat{S}) = \frac{1}{2} (\hat{J}^2 - \hat{L}^2 - \hat{S}^2) \ominus$$

Если J, L, S - определены, отсюда знаем \hat{J}, \hat{L} и \hat{S}

$$\ominus \frac{1}{2} \hbar^2 (J(J+1) - L(L+1) - S(S+1))$$

где J, L, S - квантовые числа

μ - прецессирует

$$(\hat{\mu}, \hat{J}) = -\Gamma (g_L \hat{L} + g_S \hat{S}) (\hat{L} + \hat{S}) = -\Gamma (g_L \hat{L}^2 + g_S \hat{S}^2 + (g_L + g_S) (\hat{L}, \hat{S}))$$

Можно в виде g -фактор для полного магнитного момента

$$(\hat{\mu}, \hat{J}) = -g \Gamma \hat{J}^2$$

$$g = \frac{g_L + g_S}{2} + \frac{g_L - g_S}{2} \cdot \frac{\hat{L}^2 - \hat{S}^2}{\hat{J}^2}$$

$$g = \frac{g_L + g_S}{2} + \frac{g_L - g_S}{2} \cdot \frac{L(L+1) - S(S+1)}{J(J+1)} \quad \text{— интонимосиб Ланде}$$

$$g = \frac{1+2}{2} + \frac{1-2}{2} \frac{(4+1)4 - 5(5+1)}{J(J+1)}$$

$$g = \frac{1}{2} - \frac{4(4+1) - 5(5+1)}{2J(J+1)}$$

$$(\hat{\mu}, \hat{J}) = \hat{\mu}_{||} |\hat{J}|$$

$$(\hat{\mu}, \hat{J}) = -g \Gamma |\hat{J}|^2 \Rightarrow \mu_{||} |\hat{J}| = -g \Gamma |\hat{J}|^2 \Rightarrow \mu_{||} = -g \Gamma |\hat{J}|$$

$\mu_{||}$ — компонент (в квантовом смысле не определён)
Если предположить медленнее, ^{среднее} $\mu \approx \mu_{||} = -g \Gamma |\hat{J}|$
Воспользуемся и квантованием μ_J

$$\vec{\mu}_J = -g \Gamma \hat{J}$$

$$E = E_0 - (\vec{\mu}_J, \hat{B}) = E_0 + g \Gamma (\hat{J}, \hat{B}) = E_0 + g \Gamma \hat{J}_z \hat{B}_z = E_0 + g \Gamma m_J \hbar B = E_0 + m_J g \cdot \hbar \frac{eB}{2m_e c}$$

Энергия уровней $E = E_0 + m_J \hbar g \Omega_H$
↑
изначальная энергия уровней

Уровни расщепляются на величину $\hbar g \Omega_H$

$$h \text{ — } \left[\begin{array}{c} \longleftarrow \hbar g \hbar \Omega_H \\ \longrightarrow \hbar g \hbar \Omega_H \end{array} \right]$$

$$m \text{ — } \left[\begin{array}{c} \longleftarrow \hbar g \hbar \Omega_H \\ \longrightarrow \hbar g \hbar \Omega_H \end{array} \right]$$

Обширные не из $\Omega_H \Rightarrow$ может быть разное количество.

Это всё в случае малых магнитных полей.
Здесь только структура.

Если поле более сильное, ω линии будут накладывать друг на друга и перемешиваться.

Эффект Зеемана — Баха

Когда взаимодействия с маг. полем больше чем
 есть естественное, то \vec{L} и \vec{S} прецессируют и
 независимы. Теперь и \vec{J} не постоянно (не обязательно
 сохраняется)
 Тогда энергия $E = E_0 + \frac{e\hbar}{2m_e c} (\vec{L} + 2\vec{S}) \cdot \vec{B} =$
 $= E_0 + \hbar \Omega_H (m_H + 2m_S)$

Это похоже на Лоренцевский эффект.

И при этом $\Delta m_J = 0$, а $\Delta m_H = 0, \pm 1 \Rightarrow$
 Изменение частоты $\Delta \omega = \frac{\Delta E}{\hbar} = 0, \pm \Omega_H$

Обнаружен в 19122.

Магнитный резонанс.

До этого мы не переходили между подуровнями
 разных уровней. А возможно ли переход между
 подуровнями одного уровня? Да, возможен.



Но $J \sim \nu^3$

А у них ν очень мале.

Но мы можем вызвать резонанс.

Нам надо ввести поле \vec{B} и указать эту частоту ν
 маг. поле перешепное \vec{B}_1



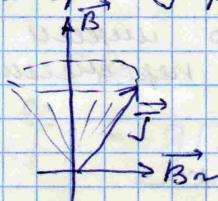
$$\frac{d\vec{J}}{dt} = [\vec{J} \times \vec{B}] = -g\Gamma [\vec{J} \times \vec{B}]$$

Уравнение "вошки".

Прецессия этого "вошки" происходит

с частотой $\vec{J} = -g\Gamma \vec{B}$

Если наложим поле \vec{B}_1 с той же частотой, то оно
 раскачивает вектор \vec{J} вокруг иவர்



$B_1 \sim \cos(\omega t)$ - для
 наблюдения
 резонанса

Сколько будет $\Delta m_j = \pm 1$ Изменения энергии будет происходить
на $\Delta E = \hbar g \mu_B$

Какой диаметр атома μ_B ?

Для микроона $\lambda = \frac{2\pi\hbar}{g\mu_B} = \frac{(2\pi\hbar c^2 m_e)}{g\mu_B} \approx 10^3 \text{ см} \cdot \text{Тс}$
 $\approx \frac{10^3 \text{ см} \cdot \text{Тс}}{g \cdot \text{В}}$

Если поле $B = 10^3 \text{ Тс}$, то $\lambda = 1 \text{ см}$ - нулевое дириг
волнт - СВЧ диапазон

Для $B \sim 1 \text{ Тл}$, $\lambda \sim 1 \text{ см}$

Чтобы снять вырождение по трем осей
нулевое какое-либо неселективное,

Эррент Штарка.

Разщепление спектральных линий атома в электрич,
поле,
Открыл 1913г. Эррент Штарк помещая атом, поле,
нулево поперечная поперечную. Если помещая атом,
поле.

1915

1916. - Шредингер

Линейный Эррент Штарка

Когда диполь, атом имеет
 $\vec{p}_0 \neq 0$.

Только у водородоподобные
атомы. Здесь не смешивать
вырождение по l &
одной компоненте атома.

Если его соединить с радиусом
 h , то с суммарным будет
интересно и здесь $\vec{p}_0 \neq 0$

$$\Delta E = (\vec{p}_0, \vec{E}) \sim E$$

Квадратный

$$\vec{p}_0 = 0$$

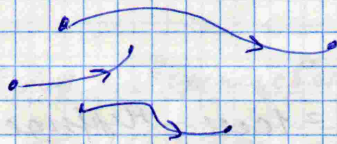
$$\vec{p} = \beta \vec{E}$$

$$\Delta E = (\vec{p}, \vec{E}) = \beta E^2$$

Многоэлектронные атомовые системы.

Многоэлектронные - ~~системы~~ много электронов, ~~имеют~~ ^{имеют} много частей.
 Если рассмотреть ~~как~~ класс. - ~~систему~~ это принцип гамильтона.

Если класс. система ~~из~~ независимых частей

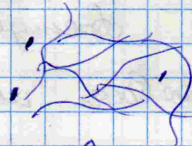


Можно их пронумеровать.
 Можно сразу туда прийти.
 Их опис. энергии и коор-ты в пространстве.
 Можно же найти промежуток.

В класс. системе!

В одной системе если даже вначале векторно знаем. И начинаются динамика, то векторная функция меняется, она изменяется ~~в~~ ^{изменяется}.

Если одноэлектронные ~~частицы~~, то они принципиально не взаимодействуют. Не можем построить отдельную траекторию для каждой ~~частицы~~.



Если одна векторная функция всей системы

$$\Psi(q_1, q_2) \leftarrow \text{она зависит от обеих коор-т}$$

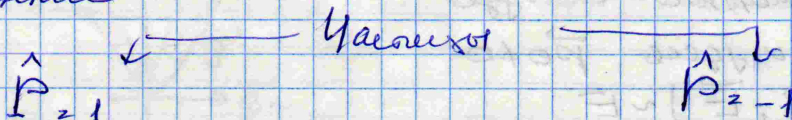
В квант. оператор перестановки, в отличие коор-т ~~частиц~~ ^{местами}

$$\hat{P} \Psi(q_1, q_2) = \Psi(q_2, q_1)$$

Если взаимодействуют или двателот $\hat{P}^2 \Psi(q_1, q_2) = \hat{P} \Psi(q_2, q_1) = \Psi(q_1, q_2)$

\Rightarrow применим ур-ние на соб. функции и соб. значения оператора \hat{P}^2 . Для ~~этих~~ $\hat{P}^2 = 1$, $\hat{P} = \pm 1$

Для данной класс. частицы он принимает одно и ~~то~~ ^{то} значение



$$\Psi_S(q_1, q_2) = \Psi_S(q_2, q_1)$$

Симметрична. При
перестановки частиц
не меняется знак
(цельевой спин)
для бозонов

ψ - фермион (частица взаимодействует)

${}^4\text{He}$ - α частица
(ядро)

Среди составных частиц - это ядра и бозоны, и фермионы.

$$\Psi_A(q_1, q_2) = -\Psi_A(q_2, q_1)$$

Антисимметрична

для фермионов

e^- , p^+ , n^0 ...

(фермионный спин)

${}^3\text{He}$
(ядро)

Симметричного и антисимметричного зависит от спина
Антисимметричного приводит к

Принцип запрета Паули

4 не взаимодействует частицы

$$\hat{H} \Psi(q_1, q_2) = E \Psi(q_1, q_2)$$

нет взаимодействия: $\hat{H} = \hat{H}_1(q_1) + \hat{H}_2(q_2)$ (*)

$$\Rightarrow \Psi(q_1, q_2) = \Psi_A(q_1) \Psi_B(q_2)$$

функции антисимметричны

Если есть взаимодействие разбить так антисимметрично (*), то
функция Ψ будет антисимметрична.

Тогда можно разбить на два независимых уравнения:

$$\hat{H}_1 \Psi_A = E_1 \Psi_A$$

$$\hat{H}_2 \Psi_B = E_2 \Psi_B$$

$$\text{где } E = E_1 + E_2$$

В уравнении Шредингера нет спина. Но если учесть спин,
Паули, в учитывает спин.

Но какая разница. Здесь уравнение Паули.

Фермион уравнение с непрерывной координатой, а спин дискретен
(уравнение Ш.) (уравнение Паули)

Все решения Ψ_A и Ψ_B ортогональны. Все ортогональные

$\Psi = \Psi_\alpha \cdot \Psi_\beta$ - не симметричен, не антисимметричен

Они не удовлетворяют принципу отделимости,

Они образуют базис, и все функции есть их линейная комбинация.

$\Psi_S = \Psi_\alpha(q_1) \Psi_\beta(q_2) + \Psi_\alpha(q_2) \Psi_\beta(q_1)$ - симметричная
Она уже удовлетворяет реальному \bar{J} Частице.

$\Psi_A = \Psi_\alpha(q_1) \Psi_\beta(q_2) - \Psi_\alpha(q_2) \Psi_\beta(q_1)$ - антисимметричная

$\Rightarrow \Psi_\alpha \neq \Psi_\beta$, иначе получили 0 - тогда решили поворот что нет частиц, от они есть \Rightarrow ^{если} ^{продолже} ^{ние}
две частицы описываемые этой функцией, не могут одновременно находиться в одном месте.

1) Фермионы (не бозонное взаимодействие) не могут находиться в одном состоянии. Это и есть принцип запрета Паули.

с учетом спина (или не более двух без учета спина)
2) В одном пространственном состоянии в атоме не более двух электронов (они с противоположными спинами)

Периодическая система хим. элементов им. Менделеева.

1869г - Д.И.М.

118 - элементов из 6 только 90 встречаются в природе.

Самый тяжелый ^{92}U - уран

1922г - Н. Бор - сформулировал принцип, список этой таблице
(высвободил по 1 квант электрона)

1925г - В. Паули (добавил принцип запрета.)

Состояние электрона в водородоподобном атоме можно описывать 4-мя квантами (n, l, m_l, m_s)

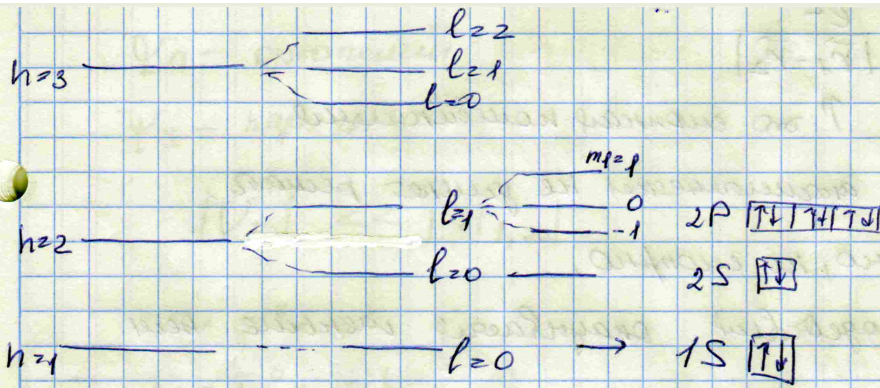
l, m_s принимают значения $\pm \frac{1}{2}$, а квант орбитального момента

чисел (n, l, m_l) , $n = 1, 2, \dots$, $l = 0, 1, \dots, n-1$,

$m_l = -l, 0, \dots, l$

Если проигнорировать n, l и m_l - n^2 состояний

И если учесть спин, то $2n^2$ - состояний.



$$n=1 - \text{K-слой} - 2\bar{e}$$

$$n=2 - \text{L-слой} - 8\bar{e}$$

$$n=3 - \text{M-слой} - 18\bar{e}$$

$$n=4 - \text{N-слой} - 32\bar{e}$$

$$n=5 - \text{O-слой} - 50\bar{e}$$

Это для водородоподобного атома.

Заполнение оболочек должно быть последовательное,

$$1s \rightarrow 2s \rightarrow 2p \rightarrow 3s \rightarrow 3p \rightarrow 4s \rightarrow 3d$$

↑
одна из
меньшей энергии
числ $3d$

Когда заполняется $3d$, а возрастает экранирование

\Rightarrow ↓ взаимодействие

Один электрон переходит
с $4s$ на $3d$.

$$\text{Хром Cr} \quad 3p^6 4s^1 3d^5$$

Рассмотрим как это вышло на спектре.

Атом гелия.

Зарядено ядро. Два электрона на орбите. Нужно

решить уравнение Шредингера.

$$\hat{H}\psi = E\psi$$

$$\hat{H} = \hat{H}_1 + \hat{H}_2 + \hat{U}_{12}$$

$$\hat{H}_{1,2} = -\frac{\hbar^2}{2m} \nabla_{1,2}^2 - \frac{Ze^2}{r_{1,2}}$$

\hat{U}_{12} - это член взаимодействия

$$V_{12} = \frac{e^2}{r_{12}} = \frac{e^2}{|\vec{r}_1 - \vec{r}_2|}$$

↑ это сложная комбинация,

В общем виде аналитически не удается решить.

Численно можно, но сложно.

Энергия взаимодействия оказывается меньше чем кинетическая

Мы будем решать методом приближений!

≠ не ψ -функции чистых

$$\hat{H}^0 = \hat{H}_1 + \hat{H}_2$$

↑
чистые приближения

$$(\hat{H}_1 + \hat{H}_2) \Psi^0 = E^0 \Psi^0 \quad \text{здесь } E^0 - \text{ набор энергий}$$

$$\Psi^0 = \psi_\alpha^0(q_1) \psi_\beta^0(q_2)$$

Волн. функции разлагаются и др. т.е. разлагаем на др. а;

$$\hat{H}_1 \psi_\alpha^0 = E_1^0 \psi_\alpha^0$$

$$\hat{H}_2 \psi_\beta^0 = E_2^0 \psi_\beta^0$$

$$E^0 = E_1^0 + E_2^0$$

это ур-ние водородно подобной атома с $Z=2$,

Решение будет таким же как у водородноподобного атома

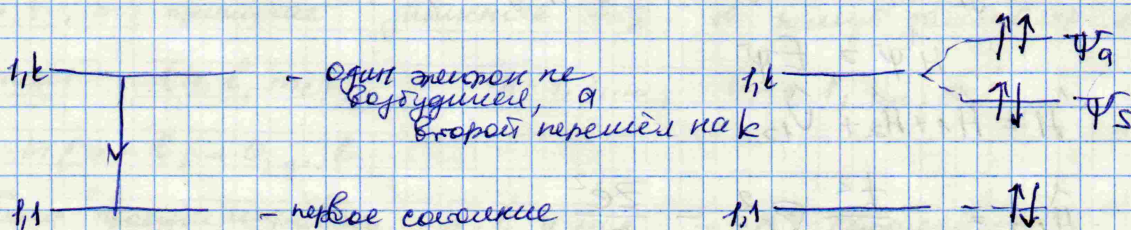
Спектр энергии будет таким же как у водородноподобного атома He^+ , но только энергии будут как E^0 .

Спектр излучения $He \approx$ спектр излучения He^+ + удвоение

Но это ещё добавка. Она приводит к раздвоению линий спектра похожего на He^+

Здесь нет спина.

$$\Psi_{S,0}^0 = \psi_\alpha^0(q_1) \psi_\beta^0(q_2) \pm \psi_\beta^0(q_1) \psi_\alpha^0(q_2)$$



Ψ_a - ортогелий Ψ_s - парагелий

$$|\hat{U}_{12}| \ll |\hat{H}_{1,2}|$$

$$\Psi = \Psi^0 + \Psi^1$$

$$E = E^0 + E^1$$

Это подставим в и предположим $E^1 \Psi^1$

$$(\hat{H}_1 + \hat{H}_2 + \hat{U}_{12}) (\Psi^0 + \Psi^1) = (E^0 + E^1) (\Psi^0 + \Psi^1)$$

$$(\hat{H}_1 + \hat{H}_2) \Psi^0 + \hat{U}_{12} \Psi^0 + (\hat{H}_1 + \hat{H}_2) \Psi^1 + \hat{U}_{12} \Psi^1 = E^0 \Psi^0 + E^1 \Psi^0 + E^0 \Psi^1 + E^1 \Psi^1$$

мало мало

$$(\hat{H}_1 + \hat{H}_2) \Psi^1 - E^0 \Psi^1 = -\hat{U}_{12} \Psi^0 + E^1 \Psi^1$$

Оно решается. Находим Ψ^1

$$E_s^1 = |C_{s,a}|^2 \int \frac{e^2}{r_{12}} |\Psi_{s,a}^0|^2 dq_1 dq_2$$

$$E_s^1 = |C_s|^2 (I_k + I_{od})$$

$$E_s^2 = |C_a|^2 = (I_k - I_{od})$$

$$I_k = 2 \int \frac{e^2}{r_{12}} |\Psi_1^0(q_1)|^2 |\Psi_2^0(q_2)|^2 dq_1 dq_2 - \text{но суги}$$

↑ кулоновский интеграл
(до максим, кулоновское в-вие)

(кулоновское взаимодействие в-вие)

$$I_{od} = 2 \int \frac{e^2}{r_{12}} \Psi_1^0(q_1) \Psi_2^{0*}(q_1) \Psi_2^0(q_2) \Psi_1^{0*}(q_2) dq_1 dq_2 - \text{обменная энергия}$$

(до макс, кулоновское взаимодействие)

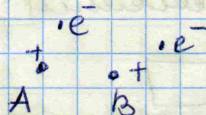
Химическая связь. Молекула водорода.

1927г. - Гайтлер, Лондон, теория ковалентной связи.

Выводим все уравнение Шредингера

$$\hat{H} \Psi(q_1, q_2) = E \Psi(q_1, q_2)$$

$$\hat{H} = \hat{H}_1 + \hat{H}_2 + \hat{V}$$



$$\hat{V} = -\frac{e^2}{r_{1B}} - \frac{e^2}{r_{2A}} + \frac{e^2}{r_{12}} + \frac{e^2}{r_{AB}}$$

Далее решаем методом приближений.

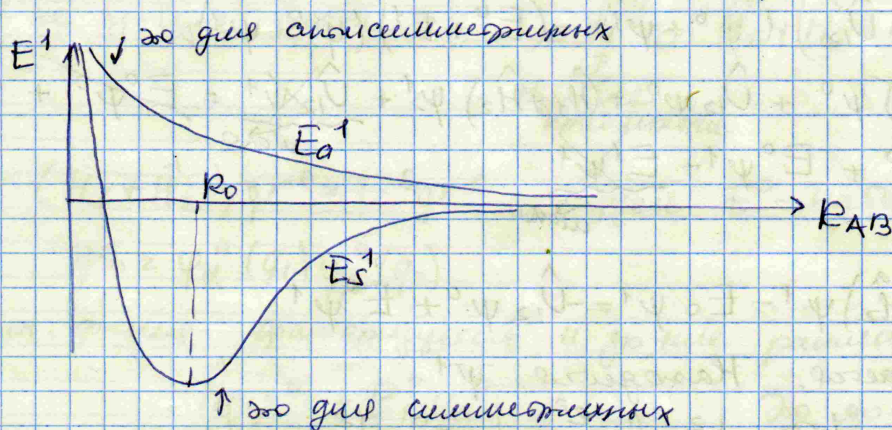
$$E_{S,A}^1 = \frac{K \pm S}{1 \pm S}$$

+ — симметричной

— — антисимметричной

$$K = \int V |\psi_A(q_1)|^2 |\psi_B(q_2)|^2 dq_1 dq_2 - \text{"класс" кулоновская энергия}$$

$$S = \int V \psi_A(q_1) \psi_A^*(q_2) \psi_B(q_2) \psi_B^*(q_1) dq_1 dq_2 - \text{обменная энергия}$$



$$R_0 = 1,51 r_B \approx 0,8 \text{ \AA}$$

$$R_0^{\text{эксперим}} \approx 0,74 \text{ \AA}$$

Резановская статистика.

Кван-Резановская статистика формально велика, что можно применить статистич. метод, т.е. работает в том, смысле как так и как еще ψ -но, а далее средние величины.

Когда к Резановской переходим, то не удобно (сложно) решать уравнение Шредингера для всех. Поэтому они используют статистику, метод. Но здесь возникают некоторые проблемы,

а) Число частиц

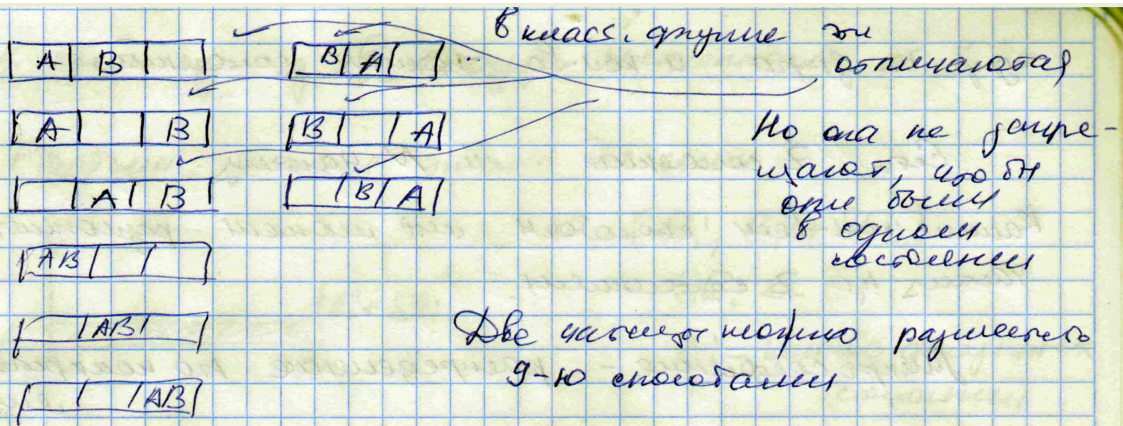
б) И еще фермионы, а бозоны и газы, сфера взаимодействия.

Будет еще три системы две частицы и две частицы

A B



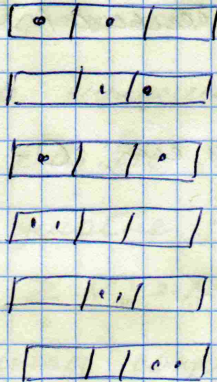
В этом случае



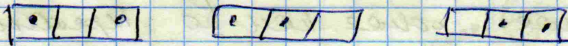
квант. случай.

бозоны

Эти частицы не могут быть различимы



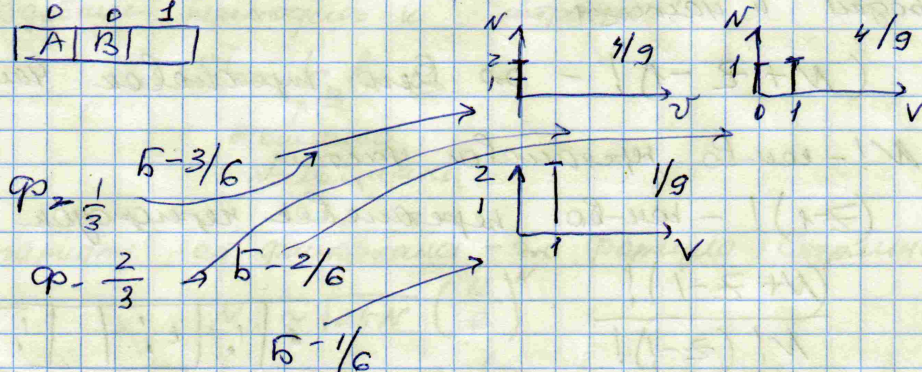
фермионы (не могут находиться в одном состоянии)



Сравнивая, все - отношение возможных вариантов размещения \rightarrow

Н-р:

Какие вероятности по скоростям можно дать?



Надо дать сумму кол-во состояний, в не отличающа

группы с группой и кол-во занятых элементов.

Если Z соединений и N часов.

Какие кол-ва элементов мы можем разместить N часов по Z соединениям.

Микро соединение - распределение по конкретным элементам

Макросоединений - крупнее соединения

Сначала, все \rightarrow кол-во микро соединений для данного макросоединения
Макросоединением состоит из нескольких микро соединений.

Чем больше микро \rightarrow макро, тем большая вероятность что это соединение будет.

Периоды

• - часовой элемент, 0 - часовой элемент

$\boxed{\bullet \mid 0 \mid \bullet \mid 0 \mid 0 \mid \bullet \mid 0}$

\rightarrow
Всего размещений $Z!$

Но у нас однозначно \leftrightarrow еще помещем

∞ будет тоже самое самое кол-во перестановок $N!$

Но это (еще) 0 их можно переписать $(Z-N)!$ раз

Тогда

$$\frac{Z!}{N!(Z-N)!}$$

Базоны

Будет еще $(Z-1)$ переходов. Можем разместить переходы и часовой

$(N+Z-1)!$ - это всего трехэлементов часовой и переходов

$N!$ - кол-во перестановок часовой

$(Z-1)!$ - кол-во перестановок переходов

$$\frac{(N+Z-1)!}{N!(Z-1)!}$$

$\bullet \mid \bullet \mid \bullet \mid \bullet \mid \bullet$

$$\frac{\overline{N_i}}{z_i + \overline{N_i} - 1} = e^{-\alpha} \cdot e^{-\beta E_i}$$

" A

$$\frac{\overline{N_i}}{z_i - \overline{N_i}} = e^{-\alpha} e^{-\beta E_i}$$

" A

α - химический потенциал нормированной константы

Если учитывать наивысшую энергию $\sum E_i = TSS$

$$\sum E_i \overline{N_i} = kTSS$$

↑
химический потенциал
↑
частота колебаний

$$\beta = \frac{1}{kT}$$

(либо брать N_i очень маленьким и учитывать их симметрию получим тоже самое)

$$\overline{n_i} = \frac{\overline{N_i}}{z_i}$$

среднее число занятых

Если разложить ур-ние по n_i , то получим

$$n_i = \frac{1}{e^{\frac{E_i - \mu}{kT}} + 1}$$

$$h_i = \frac{1}{e^{\frac{E_i - \mu}{kT}} + 1}$$

где $e^{-\alpha} = e^{\frac{\mu}{kT}} \Rightarrow \mu = \alpha kT$

распределение Бозе-Эйнштейна

↑
распределение Ферми - Дирака

n_i - число занятых (во-во частиц N_i в состоянии z_i)

В Ф-Д - всегда меньше 1, т.к. не более одной частицы в состоянии (принцип запрета Паули)

μ - химический потенциал

$$\sum_i z_i \overline{n_i} = \sum_i \frac{z_i}{e^{\frac{E_i - \mu}{kT}} + 1} = N$$

отсюда найдем μ

↑
во-во состояний доступных для частиц

$\Rightarrow \mu = \dots$
 $\mu = \mu(N, T)$
соответственно μ определяется состоянием

Чем больше V -тем больше Z_i , чем меньше V -тем меньше Z_i — а оно определяется поперечной длиной μ -характеристик носителей

$$dE = T dS - p dV + \mu dN$$

Важно, когда кем-то чашки изменяется
 смысл: изменение энергии при добавлении одной чашки

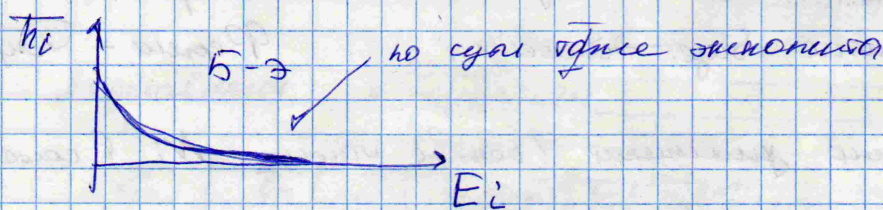
Если \neq когда $\bar{n}_i \ll 1$, то значит при этом P мало, q -ку.
 В случае когда в БЭ и ФД $\bar{n}_i \ll 1$, но это значит что температура очень большая и $\bar{n}_i \approx e^{-\frac{E_i - \mu}{kT}}$ — распределение Больцмана. (это и является результатом макс. функции)



\neq когда тепло затененный большое $\bar{n}_i \geq 1$ (большая или перед)

где БЭ: $\mu < 0$, (нуль-минимально допустимая энергия)
 $\therefore k, \bar{n}_i \geq 0$

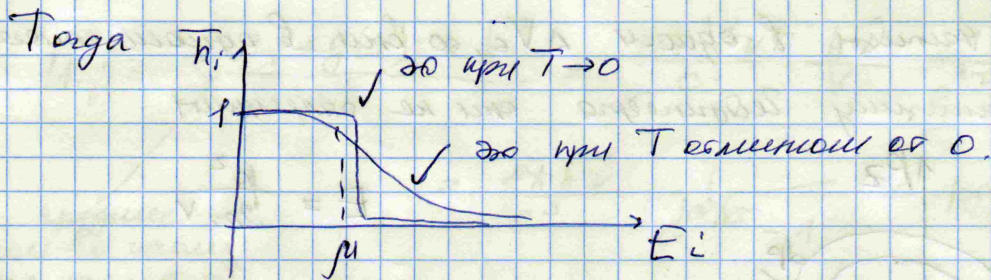
где ФД: μ может быть больше 0,



Если $T \rightarrow 0$, то получаем, что $\bar{n}_i \rightarrow \infty$, это тогда когда $\mu \rightarrow 0$ выше $E_i \geq 0$.

Все чашки садятся с нулевой энергией — это конденсация Бозе-Эйнштейна

Если область где E_i меньше μ и тогда \bar{n}_i близко к 1, если где E_i меньше μ и тогда $\bar{n}_i \rightarrow 0$.



Когда $T \rightarrow 0$, $\infty n_i \geq 1$, $E_i \leq \mu$ и $n_i \rightarrow 0$ при $E_i \geq \mu$
 $\mu (T=0) \equiv E_F$ - уровень Ферми

При $T=0$, давление газа не равно 0 (т.е. газ давит) и даже с достаточно большой энергией.

Это как с вырожденным газом.

В реальности нужно знать не-во частицу, а не n_i - оно даёт только общее представление.

Нужно доказать связь с какими энергиями

и до (доказать гран. и как, численно) задача квантовая

Вырожденность идеальной газ.

Частицы не взаимодействуют между собой - идеал. газ.

Нужно найти Z_i с энергией E_i .

В состоянии внеш. поля.

Соб. ф-ция волновой - волна де Бройля



предполагаем, что оно большое, поэтому гран. условия задаются приближенно. Решается уравне Ш и находим

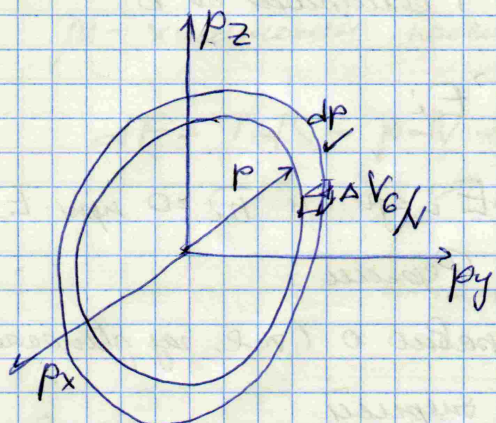
$\mu \neq \text{всё}$ в равновесии пр-во отражается

радиус-вектор (\vec{p}, \vec{p}) до пр-во в следствии принципа Гейзенберга
 $\Delta x \Delta p_x \geq \hbar/2$, оно (пр-во) разбивается на ячейки

$$\Delta V_p = \Delta x \Delta p_x \cdot \Delta y \Delta p_y \cdot \Delta z \Delta p_z = \hbar^3 / 2^3 = \hbar^3 / 8$$

ячейки в 6-го мерном пр-ве

Если частицы в объеме ΔV_0 , то они в одной оболочке и по принципу Гейзенберга они не различимы



$$E = \frac{p^2}{2m} v$$

Z_i - число состояний в слое $(E_i, E_i + dE_i)$

Теперь найдем число состояний $Z_i = dZ_i$ (обозначим)

$$dZ = \frac{\int dV_0}{\Delta V_0} = \frac{\int dp \int dV}{h^3} = \frac{4\pi p^2 dp V}{h^3}$$

$$= \frac{4\pi p^2 dV}{8\pi^3 h^3} = \frac{V p^2}{2\pi^3 h^3} dp \equiv g(p) dp$$

↑ кинетическая энергия электронов
сам разбиваем интеграл по 6-ти степеням коор-ты.

Эт можно сделать и через преобразование, но мы сделаем иначе.

Теперь надо учесть что у электронов есть спин.

$g(p)$ - разное для разных частей.

для электронов $g(p)$ будет в 2 раза больше чем у фотонов.

У фотонов проекция спина ± 1 и также больше в два раза

$$\Rightarrow g(p) = \frac{V p^2}{\pi^2 h^3}$$

Если фотоны газ

Фотоны характеризуются длиной (сам принцип)

$$p = \frac{h\nu}{c} = \frac{2\pi h\nu}{c}$$

$$\text{Тогда } dZ = \frac{V p^2}{\pi^2 h^3} dp = \frac{V}{\pi^2 h^3} \left(\frac{2\pi h}{c}\right)^3 \nu^2 d\nu =$$

$$= \frac{8\pi V \nu^2}{c^3} d\nu = g(\nu) d\nu$$

Число интервалов спектральной мощности энергии $h\nu$

$$U(\nu) = \frac{n(\nu) \cdot g(\nu) \cdot h\nu}{V} = \frac{8\pi V \nu^2}{c^3} \frac{h\nu}{V} \frac{1}{e^{h\nu/kT} - 1} =$$

$$= \frac{8\pi h \nu^3}{c^3} \frac{1}{e^{h\nu/kT} - 1} \quad \text{— распределение Брайера}$$

среднее кол-во фото на частоте ν

Для фотонов $m=0$ (а распределение Максвелла)
 Брайера — Эйнштейна)

как и должно быть

Электронный газ.

Мы будем Φ зависимость от энергии (момента и от скорости)

(Считаем, что они не Φ -то

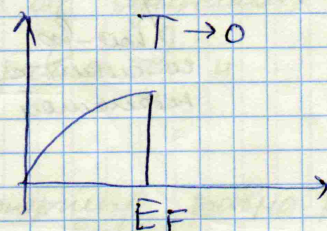
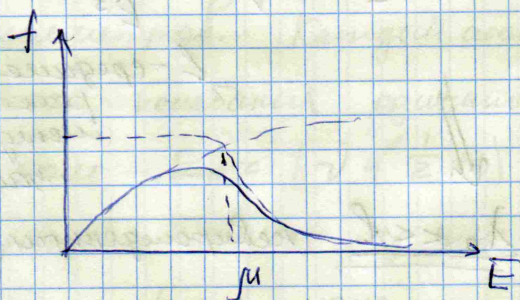
$$p = \sqrt{2mE}$$

$$dZ = \frac{V p^2}{4\pi h^3} dp$$

$$dp = \sqrt{\frac{m}{2}} \frac{dE}{\sqrt{E}}$$

$$dZ = \frac{V}{4\pi h^3} \frac{2mE}{\sqrt{2}} \frac{\sqrt{m}}{\sqrt{E}} \frac{dE}{\sqrt{E}} = \frac{V \sqrt{2m^3 E}}{4\pi h^3} dE = g(E) dE$$

$$f(E) = \underbrace{n(E)}_{\text{число фотонов}} \underbrace{g(E)}_{\text{число состояний}} = \frac{V (2m)^{3/2} \sqrt{E}}{4\pi^2 h^3 (e^{E/kT} + 1)}$$



$$\int_0^{E_F} f(E) dE = N \text{ — общее число фотонов}$$

$$f(E, T=0) = \frac{V (2m)^{3/2} \sqrt{E}}{4\pi^2 h^3} \quad \text{при } E \leq E_F$$

$$\Rightarrow E_F = \frac{4\pi^2 h^2}{m} \left(\frac{3}{8\pi} \frac{N}{V} \right)^{2/3}$$

Можно продолжить для малых T , со exp распадающейся ν ред и \int берётся со 0 до ∞ и получаем хвостичек по экспоненте

$$\mu \approx E_F \left(1 - \frac{\pi^2}{12} \left(\frac{kT}{E_F} \right)^2 + \dots \right) \quad \text{— это похоже на энергию Ферми } E_F.$$

Критерий вырожденности газа (идеального)

$n_i \ll 1$ Как связано с макроструктурой?

Курье части Z_i для малых при данной тем-ре. Большую энергию ограничена, со и скорость тоже ограничена,

$$Z = \int_0^{p_0} g(p) dp = \int_0^{p_0} \frac{V p^2}{\pi^2 \hbar^3} = \frac{V p_0^3}{3 \pi^2 \hbar^3}$$

одиче тие связаны с расстоянием для частиц

Еще ν ведет характерно длину волны де Бройля

$$\lambda_0 = \frac{h}{p_0} = \frac{2\pi \hbar}{p_0}$$

$$Z = \frac{5\pi}{3} \frac{V}{\lambda_0^3}$$

$$n \approx \frac{N}{Z} = \frac{3}{5\pi} \frac{N \lambda_0^3}{V} \ll 1 \quad \frac{N}{V} \approx \frac{1}{\nu^3}$$

λ_0 — вол-во связано с наибольшей энергией

ν — среднее расстояние между частицами

$\lambda_0 \ll \nu$ — невырожденный газ

1. Воздух при норм. условиях

$$\frac{N}{V} = 10^{19} \text{ см}^{-3} \quad \nu \approx 3 \cdot 10^{-7} \text{ см}$$

$$\lambda_0 = \frac{h}{p_0} \approx \frac{h}{m v_T} \approx 0,5 \cdot 10^{-8} \text{ см}$$

частица газа

макс. возможная скорость

2, Энергия в металле.

$$\frac{N}{V} \approx 10^{23} - 10^{24} \text{ см}^{-3}$$

$$l \sim 1 - 3 \cdot 10^{-8} \text{ см}$$

$$\lambda_0 \sim 10^{-6} \text{ см}$$

↑ для электронов

Газ в металле очень вырожден.

Температура сверхтекучести.

Температура - скачкообразно может быть введена газом. Зависит от кон-ва частот в единице объема, скачкообразно каждая частота получает энергию, а также от энергии ϵ_j -вещ.

Для газов понятие газ было $\frac{3}{2}, \frac{5}{2}$, сколько было при размеразличении частот, но всё равно проше.

С ϵ_j величина скачкообразно. Было μ Джозеф-Денон, в показан, что $C_V \approx 3k$

1906г - теория Эйнштейна (размеразличение частот, квант энергии, если его достаточно, то частоты ϵ_j -ют, если он мал, то ничего не происходит)

1) Он представил ϵ_j как систему невзаимодействующих осцилляторов. Каждой осцилляции соответствует один квант. Тогда частота колебаний одинакова и равна ν_j и

2) при этом $E_n = h\nu_j \left(\frac{1}{2} + n \right)$

3) Вероятность иметь n или иную энергию равна распределению Больцмана $f(E_n) \sim e^{-E_n/kT}$

Ищем среднюю энергию одного осциллятора

$$\bar{E} = \frac{\sum E_n e^{-E_n/kT}}{\sum e^{-E_n/kT}} = - \frac{d}{d\beta} (\ln Z) \Big|_{\beta = 1/kT} \text{ где}$$

сумма \uparrow всех вер-тей для квантования

где $Z = \sum e^{-\alpha E_n}$

А по \uparrow можно вынести

$$Z = \sum e^{-\alpha E_n} = \sum e^{-\frac{\alpha h\nu}{2}} e^{-\alpha h\nu n} = e^{-\frac{\alpha h\nu}{2}} \sum e^{-\alpha h\nu n} = e^{-\frac{\alpha h\nu}{2}} \frac{1}{1 - e^{-\alpha h\nu}}$$

$$\bar{E} = -\frac{d}{d\alpha} (\ln Z) \Big|_{\alpha = \frac{1}{kT}} = \left(\frac{h\nu}{2} \right) + \frac{h\nu}{e^{h\nu/kT} + 1}$$

то есть это формула Планка для одного осциллятора
то есть обвешает каждой квантовой энергии -
то точка отсчёта

$$U = N_g \bar{E} \cdot 3$$

Берём
кон-во
узлов
в 1 степени

\uparrow
учитываем что
осцилляторы осциллируют
в трёх направлениях

$$C_V = \frac{dU}{dT} = 3R \frac{\left(\frac{h\nu}{kT}\right)^2}{\left(e^{\frac{h\nu}{kT}} - 1\right)^2} e^{\frac{h\nu}{kT}} - \text{формула Дюлонга-Беттмана}$$

Если $T \gg h\nu$ $C_V = 3R$ - закон Дюлонга-Беттмана (в класс. ф-и)

$$\text{Если } kT \ll h\nu \Rightarrow 3R \left(\frac{h\nu}{kT}\right)^2 e^{-\frac{h\nu}{kT}}$$

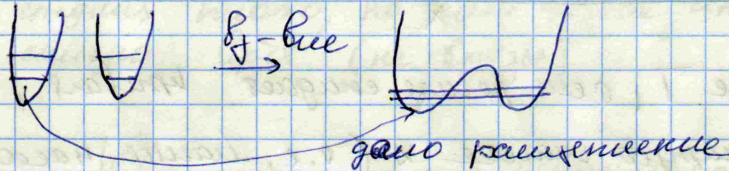


Но в эксперименте
показали, что при низк-ой
тем-ре спадает в какой-то
момент, а не exp.

Ну что возбуждено малому, но при низких тем-рах
вероятность $f(E_n)$ возбуждения мало. Ну что происходит
как возбуждено?

Теория Дебая,

Когда λ меньше длины водорода, то атомы выглядят как осцилляторы, но в моле N -ли их в сумме, то поведение взаимодвижение, со уровня энергии можно рассчитать.



Если добавить еще каналы, то будет еще колебательное движение у Дебая в-е тело - это набор функций осцилляторов. Функции уже частота будет не одна и она увеличивается \Rightarrow будет набор частот ν_i .

Также $E_n = h\nu \left(\frac{1}{2} + n\right)$

$f(E_n) \sim e^{-E_n/kT}$

Но теперь

$$E = \sum_{i=1}^{3N} \frac{h\nu_i}{e^{h\nu_i/kT} - 1} \approx$$

Также вывод скалярности в трех направлениях колебаний

Нужно суммировать по всем частотам, и кол-во частот = кол-ву частот (две частоты - две частоты, три частоты - три частоты и т.д.)

$$\approx \int_0^{\nu_{\max}} \frac{h\nu}{e^{h\nu/kT} - 1} dZ(\nu)$$

↑ количество, в приходящее на $d\nu$

Всего число состояний

$$\int_0^{\nu_{\max}} dZ(\nu) = 3N$$

↑ число для частот

если ν_i , измерение в 3-х направлениях (колебания в трех направлениях)

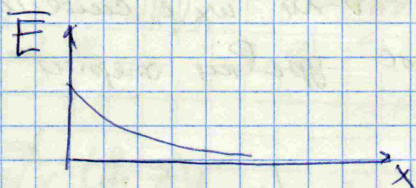
Остается только найти $\nu_{\max} z \dots$

Но сложно найти $dZ(\nu) = ?$ Но в лит можно ее вывести.

будет T -мало.

$$\bar{E} = kT \frac{x}{e^x - 1} \quad x = \frac{h\nu}{kT}$$

Если посмотрим как \bar{E} зависит от x , то увидим



Чем меньше T , тем резче спадает кривая, тем больше доминирует малые x (т.е. малые частоты)

Конфедерация гол-нич в среде вроде бы соот-ет волна. Когда перебежим тепло, то воздушными упрямые волны, в тепло делаются

Если нулевым частоты \rightarrow то длиннее волны (они охватывают не один атом, а много).

Атомники или перемены к сплошной среде и следую можем отнестись на основе упрямых волн.

Мы можем всё что делаем для λ/μ волн перенести на упрямые волны (квадратичная, дается всего q -на) похотная q -му планка

Тогда числовое значение $dZ(\nu) = kT V \nu^2 d\nu \left(\frac{1}{c_{||}^3} + \frac{2}{c_{\perp}^3} \right) \ominus$
 со ставим с фазовыми гами.

Квант упрямой волны - фотон \uparrow это так же фотонным газом
 Здесь волновое ν поперечности (одна волна с продольной поперечной и две - с поперечной)

$$\ominus \frac{12hV\nu^2}{c_s^3} d\nu$$

$$\text{где } \frac{3}{c_s^3} = \frac{1}{c_{||}^3} + \frac{2}{c_{\perp}^3}$$

7 среднее

Мы узнали от кристаллической решетки (структуры) сказать что для таких вол она не важна

$$\text{Тогда } \bar{E} = \frac{12\pi V h^3}{c_s^3} \int_0^{\nu_{\max}} \frac{\nu^3 d\nu}{e^{h\nu/kT} - 1} \approx$$

$$\approx \int_0^{\nu_{\max}} \frac{h\nu}{e^{h\nu/kT} - 1} dZ(\nu)$$

Эта ф-ла работает и для больших тем-р хорошо,
 для средних много, но если x как инвертошка, то лучше
 не сильно врет. (не вразум)

$$x = \frac{h\nu}{kT} \quad - \text{ для малых температур и } x \rightarrow \infty \text{ при } T \rightarrow 0$$

кроме ν большое

$$\text{тогда } x_{\max} = \frac{h\nu_{\max}}{kT}$$

Тогда можем для малых частот продвинуться дальше

$$\bar{E} \approx \frac{12\pi V k^4 T^4}{c_s^3 h^3} \int_0^{\infty} \frac{x^3 dx}{e^x - 1} = \mathcal{D} T^4$$

$\int_0^{\infty} \frac{x^3 dx}{e^x - 1} = \frac{\pi^4}{15}$

Вспомни π закону Стефана-Больцмана

$$\bar{E} = U = \mathcal{D} T^4 \quad \text{где } \mathcal{D} = \frac{4}{3} \frac{\pi^5 k^4 V}{c_s^3 h^3}$$

$$C_V = \frac{dU}{dT} = 4\mathcal{D} T^3 \quad - \text{ закон Кюбеля Дебая}$$

Эта очень детально связывает C_V с температурой T и свойствами кристаллической решетки.

Но можно возбудить и свобод. электроны (н-р, в металле)
 тогда $C_V \sim T$ - нужно и это учитывать (о.е. если добавка)

$$\frac{12\pi V}{c_s^3} \int_0^{\nu_{\max}} \nu^2 d\nu = \frac{4\pi V}{c_s^3} \nu_{\max}^3 = 3N$$

$$\Rightarrow \nu_{\max} = \left(\frac{3c_s^3 N}{4\pi V} \right)^{1/3} = \frac{c_s}{a} \left(\frac{3}{4\pi} \right)^{1/3}$$

где $a = \left(\frac{V}{N} \right)^{1/3}$ - по сути среднее расстояние между атомами

$$\lambda_{\min} = \frac{c_s}{\nu_{\max}} = \left(\frac{4\pi}{3} \right)^{1/3} \cdot a \approx 1,6a$$

Но получаем то что не очень длинные волны.

Но ошибка Дебая не большая и работает хорошо во все равно хорошо

В водит волн-пу Дебая (с которой начинается работа Джон кубов Дебая)

$$T_D = \frac{h\nu_{max}}{k} = \frac{hc_s}{ka} \left(\frac{3}{4\pi}\right)^{1/3}$$

$$\begin{aligned} \text{Тогда } U &= 9 N a k T \cdot \left(\frac{T}{T_D}\right)^3 \int_0^{T_D/T} \frac{x^3 dx}{e^x - 1} = \\ &= 3 k T \cdot 3 \left(\frac{T}{T_D}\right)^3 \int_0^{T_D/T} \frac{x^3 dx}{e^x - 1} \end{aligned}$$

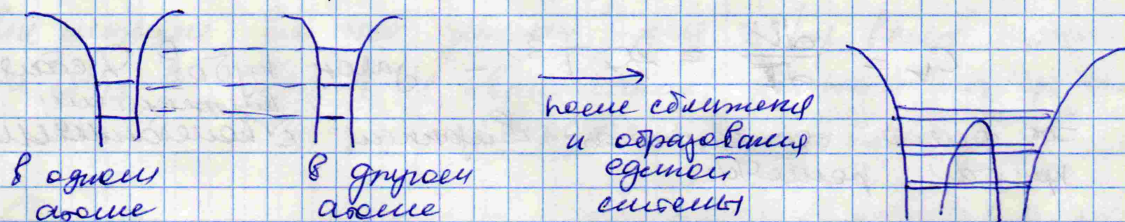
Когда $T \gg T_D, \infty U = 3 k T$ ($\nu = 1$)

Когда $T \ll T_D, \infty U = 4 \sigma T^3$

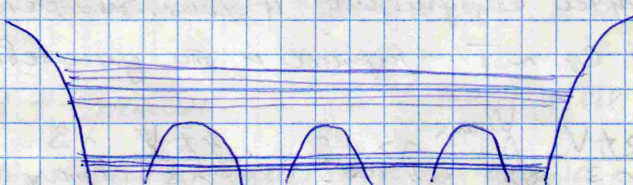
Большое количество газа, могут возбуждаться всевозможные частицы и могут влиять свободные электроны.

Зонная структура кристаллических твердых тел.
Волны Блоха.

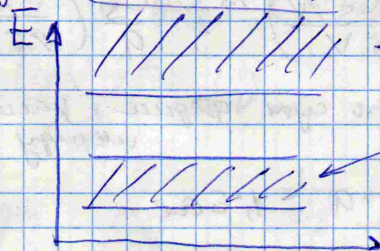
Атом соседней в крист. решетку



если не атомов много ∞

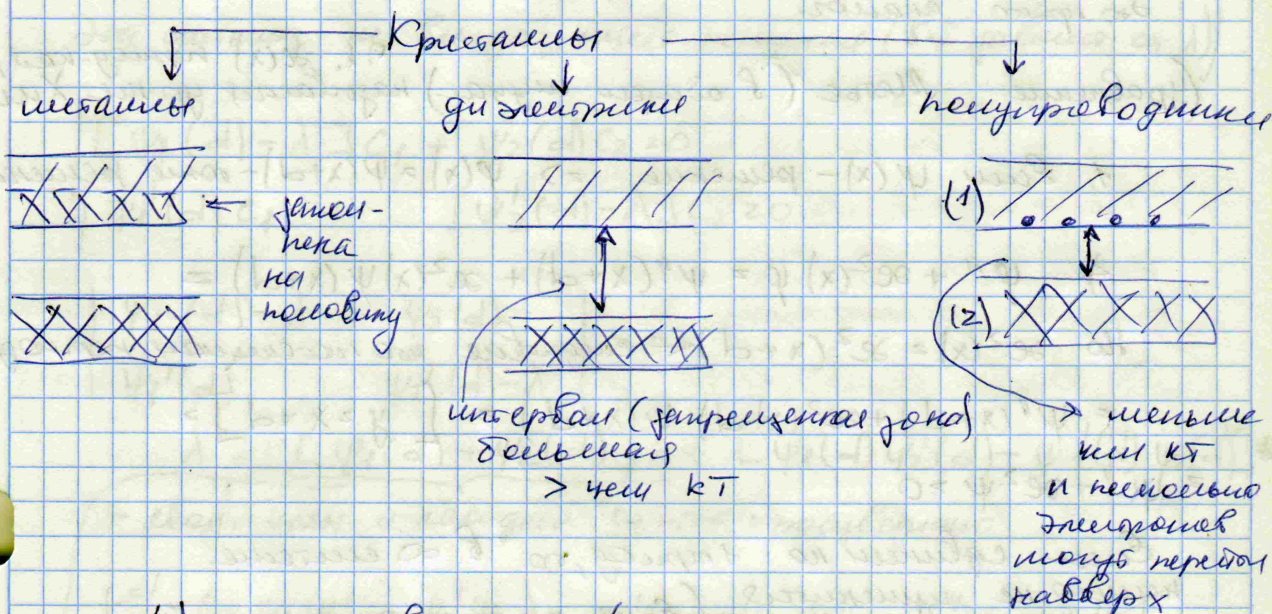


Можно увидеть уровни, носители колеблются широким



область где есть уровни для квантов энергии и ква-ся зонный, и по сути, как зонная структура для фотона, по раздвигается; металлы, диэлектрики, полупроводники.

Только последний зона может быть либо запрещенной зоной либо частично запрещенной.
 Все остальные зоны обязательно запрещены.



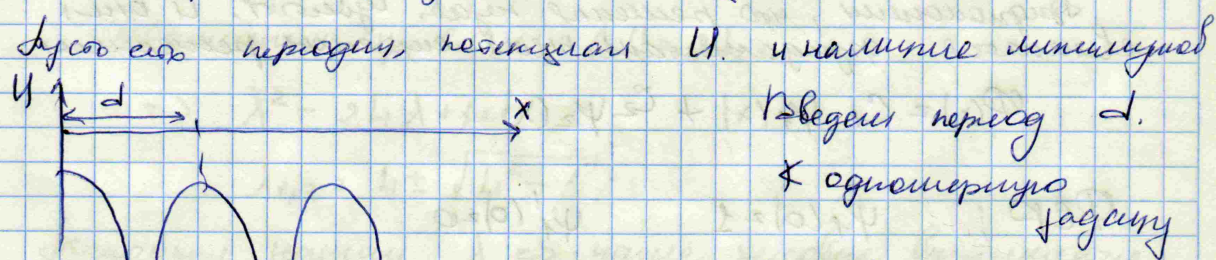
- (1) - зона проводимости (снизу)
- (2) - зона валентная (сверху)

Электрон движется зона сверху вниз (на сколько хватит)

Задачу конечно можно. Хотим получить спектр и уравнение Шредингера.

Волны Блоха.

Электрон в периодическом потенциале.



Каждый электрон, движется вместе с ионами решетки свои "средние" места.

$$U(x) = U(x+d)$$

Найти энерг. состояние в этом потенциале.

Решаем уравнение Шредингера.

$$-\frac{\hbar^2}{2m} \frac{\partial^2 \psi}{\partial x^2} + U(x) \psi = E \psi$$

Введем $\chi(x) = \frac{2m}{\hbar^2} (E - U(x))$ E - параметр.

Найти E при ψ до уравнения имеет решение.

$$\psi'' + \epsilon^2(x)\psi = 0$$

Мы интересуемся только локально определенными собственными $\epsilon^2(x)$ -потенциалами

Боготе на местности с параметрической накачкой.
Это просто аналог.

(Уравнение Матве в общем случае) называется уравнение Хилла
т.е. $\epsilon^2(x)$ периодичен, т.е.

1, Если $\psi(x)$ - решение $\Rightarrow \psi(x) = \psi(x+d)$ - тоже решение

$$\psi'' + \epsilon^2(x)\psi = \psi''(x+d) + \epsilon^2(x)\psi(x+d) =$$

Но $\epsilon^2(x) = \epsilon^2(x+d)$ \leftarrow следовательно ψ тоже периодичен

$$= \psi''(x+d) + \epsilon^2(x+d)\psi(x+d) = [\psi(x+d)] =$$

$$= \psi'' + \epsilon^2\psi = 0$$

Если сравним по 1 период, то в ∞ системе ничего не изменится (если она ограничена, то иначе бы не было)

2, Если найдем два линейно независимых решения

$\psi_1(x)$ и $\psi_2(x)$ то общее решение представляется как их линейная комбинация $\psi(x) = C_1\psi_1(x) + C_2\psi_2(x)$

Можно найти такое $\Phi(x)$; что $\Phi(x+d) = \lambda\Phi(x)$

(можно найти такие лев. решения что вытесняются λ)

Функциями, что решения лев. убывают, и они являются фундаментальными системами решений

$$\Phi(x) = C_1\psi_1(x) + C_2\psi_2(x)$$

$$\Phi \text{ ФР}; \quad \begin{array}{ll} \psi_1(0) = 1 & \psi_1'(0) = 0 \\ \psi_2(0) = 0 & \psi_2'(0) = 1 \end{array}$$

Будем искать такое решение $\Phi(x+d) = \lambda\Phi(x)$

$$\text{Тогда} \quad \begin{cases} \Phi(d) = \lambda\Phi(0) \\ \Phi'(d) = \lambda\Phi'(0) \end{cases}$$

Подставим Φ с учетом ФР. Тогда получаем:

$$\Rightarrow c_1 \psi_1(d) + c_2 \psi_2(d) = \lambda c_1$$

$$\Rightarrow c_1 \psi_1'(d) + c_2 \psi_2'(d) = \lambda c_2$$

Можно \neq её как систему от-но коэф-тов c_1 и c_2 .

Для системы не всегда имеют решение (всё зависит от λ)

$$\begin{cases} [\psi_1(d) - \lambda] c_1 + \psi_2(d) c_2 = 0 \\ \psi_1'(d) c_1 + [\psi_2'(d) - \lambda] c_2 = 0 \end{cases}$$

$$\begin{cases} [\psi_1(d) - \lambda] c_1 + \psi_2(d) c_2 = 0 \\ \psi_1'(d) c_1 + [\psi_2'(d) - \lambda] c_2 = 0 \end{cases}$$

$$\begin{vmatrix} \psi_1(d) - \lambda & \psi_2(d) \\ \psi_1'(d) & \psi_2'(d) - \lambda \end{vmatrix} = 0$$

$$\lambda^2 - [\psi_1(d) + \psi_2(d)] \lambda + [\psi_1(d) \psi_2'(d) - \psi_1'(d) \psi_2(d)] = 0$$

\neq свод. член и найдем во него производную

$$\begin{aligned} \frac{d}{dx} (\psi_1 \psi_2' - \psi_1' \psi_2) &= \psi_1' \psi_2' + \psi_1 \psi_2'' - \psi_1'' \psi_2 - \psi_1' \psi_2' = \\ &= -x^2 \psi_1 \psi_2 + x^2 \psi_1 \psi_2 = 0 \end{aligned}$$

\Rightarrow эта функция = const \Rightarrow значение в точке d равно её значению в 0, т.е.

$$\psi_1(d) \psi_2'(d) - \psi_1'(d) \psi_2(d) = \underbrace{\psi_1(0) \psi_2'(0)}_{=1} - \underbrace{\psi_1'(0) \psi_2(0)}_{=0} = 1$$

это показывает что взаимная ФСР удобная

\rightarrow это мы не знаем, это какая-то константа, она зависит от системы

$$\text{Обозначим } \psi_1(d) + \psi_2(d) = 2L$$

$$\Rightarrow \lambda^2 - 2L\lambda + 1 = 0$$

$$\lambda_{1,2} = L \pm \sqrt{L^2 - 1}$$

большинству наших $\lambda \Rightarrow$ наше условие выполнимости

$$\Rightarrow \text{наши две функции } \Phi_{1,2}(x+d) = \lambda_{1,2} \Phi(x)$$

\neq случаи когда $\lambda > 0$ и $\lambda < 0$.

$$a) |L| > 1 \Rightarrow \lambda_{1,2} \in \mathbb{R}$$

Кроме того $\lambda_1 \lambda_2 = 1$, т.к. свободный член в уравнении равен 1.

будет $\lambda_1 > 1$, а $\lambda_2 < 1$

$\Rightarrow \Phi_1(x) \rightarrow \infty$
 $x \rightarrow \infty$ (т.к. как там где больше коэффициент функции
 \uparrow у-ся λ)

Но $\Phi_2(x) \rightarrow \infty$
 $x \rightarrow -\infty$

т.к. они обе уйдут в ∞ , ∞

Не можем составить линейную комбинацию, т.к. получим функцию исчезающую в ∞ в $\infty \Rightarrow$ функции не можем
 Это случай запрещенной зоны. (также E при которых $\lambda > 1$)

б) $\& \lambda_0 < 1$ Можем ввести новую переменную

$$\begin{aligned} \lambda z &= \cos kd \\ z &= e^{ikd} \text{ - периодический решетки} \\ k &= \text{const} \end{aligned}$$

$$\lambda_{1,2} = \cos kd \pm i \sin kd = e^{\pm i kd}$$

Эти коэффициенты не могут быть равны ± 1 и $\Phi_{1,2} \rightarrow \infty$ при $x \rightarrow \infty$
 будет равно ± 1 (она ограничена)

Тогда меньшая графа, а синусoidal нест

$$\Phi_{1,2}(x+d) = e^{\pm i kd} \Phi(x)$$

Это уравнение разрешенной зоны

и все их мин. комбинация будет функцией.

$$\text{Введем } \Phi_{1,2}(x) = e^{\pm ikx} P_{1,2}(x)$$

$$\& \Phi_{1,2}(x+d) = e^{\pm i(k(x+d))} P_{1,2}(x+d)$$

$$e^{\pm i kd} \cdot e^{\pm ikx} P_{1,2}(x) = e^{\pm ik(x+d)} P_{1,2}(x+d)$$

$$\Rightarrow P_{1,2}(x) = P_{1,2}(x+d) \text{ - функция периодическая}$$

Суть введения ее в периодичности.

Тогда полное решение в случае уравнения Шредингера,

$$\begin{aligned} \Psi_1(x, t) &= P_1(x) e^{-i(\omega t + kx)} \\ \Psi_2(x, t) &= P_2(x) e^{-i(\omega t - kx)} \end{aligned} \quad \begin{aligned} &\text{- это базисные функции} \\ &\text{задачи в силу} \end{aligned}$$

Внешне напоминает волны де Бройля. От неё
отличается лишь тем, что амплитуда теперь равна A .
Это функция с постоянной периодической амплитудой.

Эти волны называют волнами Блоха.

$k \rightarrow$ это периодичность h , а k является её энергией
 \Rightarrow меньше $E \Rightarrow$ меньше $h \Rightarrow$ меньше k .

В волне де Бройля величина $p = \hbar k$ — импульс.

Совершенно для волн Блоха в водоем функ. функ

$p = \hbar k$ но она не является импульсом,
она называется "квазиимпульс" (новый импульс)

т.к. $k = k(E) \Rightarrow$ есть зависимость $E = E(p) \Leftrightarrow \omega = \omega(k)$

т.к. $E = \hbar \omega$. Это законы дисперсии.

Замечание.

Всё это обобщается на трехмерной ситуации. Там будет
периодичность по всем направлениям и будет

$$\psi_{1,2} = R_{1,2} e^{-i(\omega t \pm \vec{E} \cdot \vec{r})}$$

Замечание.

Законы дисперсии волн. Они относятся к волне
электронов с ионами и других электронов в кристалле.
Это основная характеристика дисперсии: как преобразованы волны
от движения частиц.

Замечание.

Функции Блоха $\psi(x,t) = R(x) e^{i(kx - \omega t)}$

Видер функции k неоднозначен, т.к. e^{ikx} тоже периодична.
Если предположить от k к $k = k' + 2\pi \frac{h}{d}$ и

введем новую $R'(x) = R(x) e^{i2\pi n \frac{x}{d}}$ $n = N, \mathbb{Z}$

$$\Rightarrow \psi(x,t) = R'(x) e^{i(k'x - \omega t)}$$

\exists новый прецедент. Как становится на другом.

Основываясь на k , в наименьшее значение имеет.

($|k|$ -наим-шее)

Если мы так введем, то окажется для каких ω $k \ll \frac{\pi}{d}$

\Rightarrow период волн много больше d

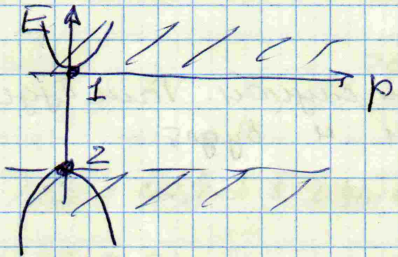
\Rightarrow функция ψ представляет плоскую волну с медленными колебаниями амплитудой $\approx d$, периодом $\approx d$

Можно ввести характер. длину волны $\lambda \gg d$.

Т.к. это плоская волна, то можно считать групповую волну (волновой пакет) и он будет двигаться с групп. скоростью $v \approx v_{gr} = \frac{d\omega}{dk} = \frac{dE}{dp}$

Для электрона энергия $E = \frac{p^2}{2m_0} + e\phi$ где ϕ потенциал можно найти здесь и где не найти.

Энергия на границе можно её аппроксимировать параболой вблизи $\phi = 1$ минимум энергии находится а $\phi = 2$ - максимум.



$$\Rightarrow E \approx \frac{1}{2m_0} p^2$$

↑
электронная

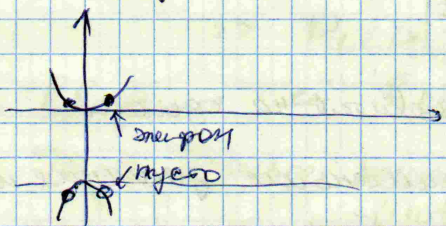
Вблизи $\phi = 2$ и $\phi = 1$ электрон ведет себя как фотоэлектрон, только с $m_0 \ll m_e$, значение m_0 зависит от скорости

Вблизи точки 1 и 2 можно ϕ электрон с классической точки зрения.

Интересно переход и $\phi = 1$ и вблизи них наиболее интересные места.

Электрон проводимости

Справедливо для непроводящих электронов применим $\mu = 2$ и $\phi = 1$



Нам добавляет внеш. электр. поле \Rightarrow на электрон действует сила, в совершает работу

$$F = -eE$$

$$dE = F v dt$$

$$dE = \frac{dE}{dp} dp = v dp$$

$\Rightarrow \frac{dp}{dt} = F$ — похоже на закон Ньютона, но
здесь p — квазиимпульс
для некоего вент
Блоха

Волны управляют фазой возмущенной ямой
Ньютона и для скорости, $\frac{d\mathcal{E}}{dt} = \frac{d\mathcal{E}}{dp} \frac{dp}{dt} = \frac{d^2\mathcal{E}}{dp^2} \frac{dp}{dt} =$
 $= \frac{1}{m_{\text{эфф}}} F$

$$m_{\text{эфф}} \frac{d\mathcal{E}}{dt} = F$$

Здесь не масса какой-то частицы, а просто коэффициент пропорциональности между энергией и квазиимпульсом.

Здесь \mathcal{E} — групповая скорость некоего соединения су
вент Блоха
Здесь некий переносит заряд.

Иногда говорят, что ур-ние движения "квазичастица",
т.е. движение электронов в кристаллах как одна
квазичастица.

В зоне проводимости!

$$m_{\text{эфф}} = \left(\frac{d^2\mathcal{E}}{dp^2} \right)^{-1} > 0$$

т.к. всегда параболы
вверх направлены

В зоне валентности

$$m_{\text{эфф}} = \left(\frac{d^2\mathcal{E}}{dp^2} \right)^{-1} < 0$$

Движение электрона, направит с отриц. массой эквивалентно
движению позит. частицы с позитив. массой.

$$\text{Вследствие } m_{\text{эфф}}^{\text{эл}} = -m_{\text{эфф}}^{\text{поз}}$$

$$q = +e.$$

$$\text{Болушки тоже ур-ние } m_{\text{эфф}}^{\text{поз}} \frac{d\mathcal{E}}{dt} = q \cdot E.$$

Эти квазиэлектроны называются дырками

факт $\&$ что дырки это не реальные электроны,
а приравненные к ним

Ядро состоит из нейтронов и протонов.

Эти сделали Д. Иваненко и В. Гейзенберг (они сделали это независимо) - протонно-нейтронная теория ядра, протоны и нейтроны - нуклоны

Характеристики атомного ядра.

Z - зарядовое число (= числу протонов)

N - число нейтронов

$A = Z + N$ - массовое число

E_B - энергия связи нуклонов в ядре - энергия, необходимая, чтобы разорвать ядро на отдельные нейтроны и протоны

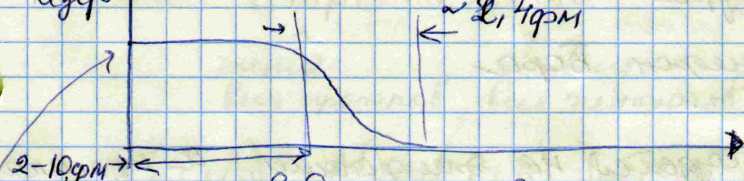
I - спин ядра (соб. момент импульса ядра)

μ - магнитный момент ядра

R - радиус ядра (форма близка к сферической)

$\frac{AR}{R}$ - несферичность ядра

плотность
ядер



плотность ρ -да не зависит от формы ядер, не зависит практически от радиуса (спадает на границе ядра)

1 fm (фермион или Ферми) = 10^{-15} м

для тяжелых ядер $\rho \approx 0,74 \frac{\text{нукл}}{\text{фм}^3}$ ← нуклоны

$R \approx 1,3 A^{1/3}$ фм (весь ядро и все нуклоны она приближительная, но хорошо работает)

Спин ядра и поверхностная структура
спинорбитальный эффект.

Ушился его вырождение, в спиновой спин орбитал.
 g -фактор \Rightarrow величина оскал, структура ширины спектра-а
 (вырождение по j и l)

1897 - Майкельсон: открытие сверхтонкой структуры
 (спин-орбитальное вырождение по
 числам m_j)

\uparrow тонкая
 структура ширине

1928 - Гаусс (если есть спин по m_j , то
 маг. поле самого ядра \Rightarrow спин ядра)
 в линии есть его квадратичной электромагнитный
 момент.

Для I и m_I справедлива квадратичная мех-ка
 век, что изучали.

Спин ядра I \Rightarrow квадратичная мех-ка.

$$|\vec{I}|^2 = \hbar^2 I(I+1)$$

$$m_I = -I, \dots, I$$

Есть связь между маг. моментом и моментом инерции

$$\mu = g \mu_N I \quad - \text{ядерное гиромагнитное отношение}$$

\uparrow g - фактор ядра

$$\mu_N = \frac{e\hbar}{2m_p c} \quad - \text{магнетон Бора}$$

В ядре движение создается на электронах, а куча магн.
 формулу $\mu_N = \frac{e\hbar}{2m_p c} = \frac{m_e}{m_p} \mu_B$ - ядерный магнетон
 Магн. момент ядра \ll маг. момент электрона

$$\mu_p \approx 2,79 \mu_N \quad - \text{маг. момент протона}$$

У незаряженной частицы как не Франкель, со маг. момент
 не должен быть, но он есть и при этом есть.

$$\mu_n \approx -1,91 \mu_N$$

Это указывает, что p^+ и n^0 - не являются типично
 элементарными \Rightarrow имеют внутреннюю структуру.

- частица

Масса ядра и энергия связи, нуклонов в ядре.

$$E_{\text{ядр}} = -E_{\text{св}}$$

↑ энергия, в которую при образовании ядра из протонов и нейтронов.

Обычно в ходе радиоактив. распада отделяется часть и в основном превращается на какой-то из нуклонов

$$E_p = E_{\text{св}}(Z, A) - E_{\text{св}}(Z-1, A-1)$$

↑ энергия связи протона / энергия связи нейтрона

$$E_n = E_{\text{св}}(Z, A) - E_{\text{св}}(Z, A-1)$$

$$E_{\alpha} = E_{\text{св}}(Z, A) - E_{\text{св}}(Z-2, A-4) - E_{\text{св}}(2, 4) =$$

↑ энергия α-частицы / энергия связи α-частицы

$E_{\text{св}}$ - вычисл. на массу ядра

Энергия покоя ядра меньше энергии покоя отдельных нуклонов

$$E = Mc^2$$

$$E_{\text{св}} = Z M_p c^2 + N M_n c^2 - M(Z, A) c^2$$

↑ энергия всех протонов / ↑ энергия всех нейтронов / ↑ энергия покоя ядра

$$\Delta(Z, A) = M_{\text{ядр}}(Z, A) [a.e.m.] - A$$

↑ дефект масс / масса ядра

$$M_n = \Delta_n + 1$$

$$M_p = \Delta_p + 1$$

$$E_{\text{св}}(Z, A) = Z(\Delta_p + 1) + N(\Delta_n + 1) - (\Delta(Z, A) + A) \cdot 1 a.e.m. \cdot c^2$$

$$E_{\text{св}}(Z, A) = Z\Delta_p + N\Delta_n - \Delta(Z, A)$$

↑ выразительная

↓ можно считать как начало счёта энергии

Когда * распад, то до и после кол-во протонов и

нейтронов не уменьшается, но они переругируются.

Пример:

α -частица - ${}^4_2\text{He}^{2+}$ (ядро без электронов)

$$M_p = 1,007276 \text{ а.е.м.}$$

$$M_n = 1,008665 \text{ а.е.м.} \leftarrow \text{у-я то же что масса чубо ?}$$

$$M_\alpha = 4,001506 \text{ а.е.м.}$$

т.е. M_p, n по формуле не
несовпадают

$$\Delta_p = 0,007276$$

$$\Delta_n = 0,008665$$

$$\Delta_\alpha = 0,001506$$

$$E_{\text{св}} = 2\Delta_p + 2\Delta_n - \Delta_\alpha = 0,030 \text{ (а.е.м.} \cdot \text{с}^2) \approx$$

$$\approx 28,4 \text{ МэВ}$$

Модель ядра.

Не помню из чего состоит p^+ и n^0 , и непонятна сила, в их объединении в ядра. \rightarrow некое ядерное взаимодействие.

Модель башки дрекошеницикиши.

Качество - качество не зависит от R

Квантовая модель ядра.

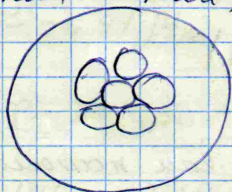
1906г - предположение Нильса Бора. В основном рабута

Я. Френкелем, Дж. Уилер.

Версия Вайнзекера.

Предполагается, что $E_{\text{св}}$ складывается из энергии, энергии и энергии или от ядерного взаимодействия.

\rightarrow ^{энергия} ядерного β -взаимодействия пропорционально количеству нейтронов в ядре (а.е. А)
(объемная энергия)



Δ_k , количество
одинаковое как и у частиц
so количество соседств одинаково
а количество одинаковых \Rightarrow энергия
одинаковая β -взаим.

1) ν -вие не зависит от того какой нуклон

2) масса одинакова для ν

3) ν -вие меньше.

= энергия поверхностного касания $\sim A^{2/3}$
 Только у нуклонов на границе другие ν -вие - ок.
 соседней ядра - уменьшит энергию пов-ной касания.
 Она отрицательная.

$$R \sim A^{1/3}$$

$$S \sim R^2 \sim A^{2/3}$$

= энергия кулоновского ν -вие $\sim \frac{q^2}{r} \sim Z^2 A^{-1/3}$

Считаем, что ядро - это некое сферическое шар с радиусом R

= также учитываем ядра - у тех ч ν каково R^3 и N^0 одинаковое - экспериментальный факт.

\Rightarrow симметричные ядра \Rightarrow вычитают энергию
 симметрии $\sim \frac{(Z - A/2)^2}{A}$ ← с.к. про сие δ нуле
 аппроксимация ν в ν
 параболой.

= Энергия четности (связана со спином)

Четные ядра более устойчивые (число протонов и
 нейтронов четное число)

$$= \begin{cases} \delta, & \text{если } Z, N - \text{четные} & (\text{четно-четные ядра}) \\ 0, & \text{если } Z \text{ или } N - \text{нечетные} & (\text{четно-нечетные ядра}) \\ -\delta, & \text{если } Z, N - \text{нечетные} & (\text{нечетно-нечетные ядра}) \end{cases}$$

$$E_B = C_{\text{об}} A - C_{\text{пов}} A^{2/3} - C_{\text{кул}} A^{-1/3} Z^2 - C_{\text{сим}} (A - 2Z)^2 A^{-1} +$$

$$+ \text{Счет } \delta \frac{f_{\text{ч}}(Z, N)}{A^\epsilon}$$

функция
 четности

где $\epsilon = \frac{1}{3} \div 1$ (обычно $\frac{3}{4}$ берется)
 это эмпирическая
 поправка

Меняют E_B , когда подбирают коэф-ты, чтобы
 кривая прошла как можно лучше по точкам

$$C_{\text{об}} = 15,75 \text{ МэВ}$$

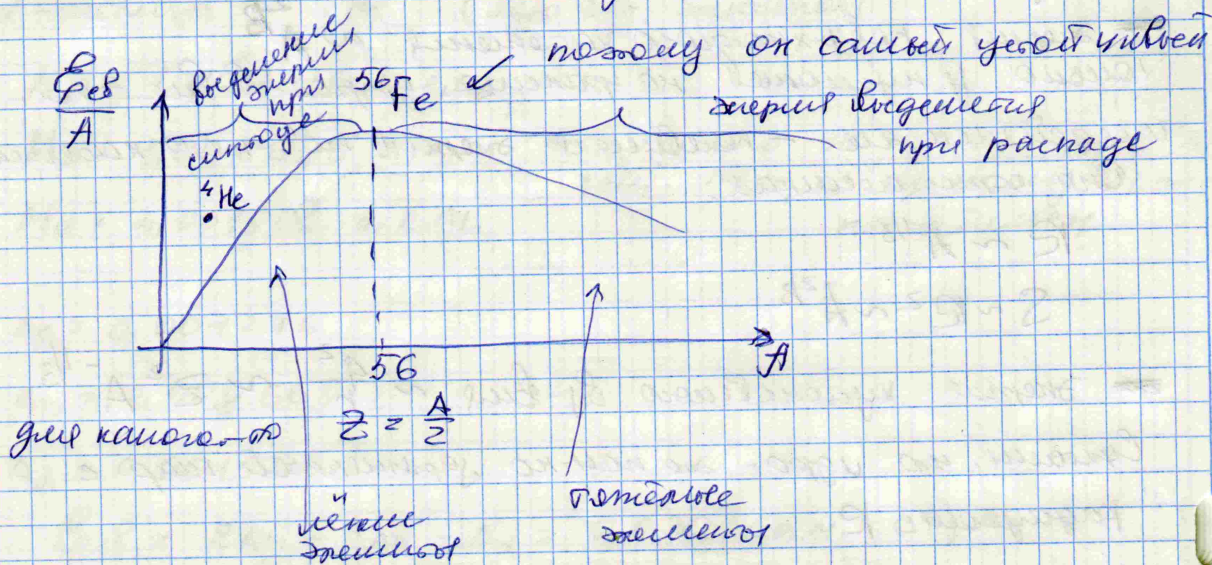
$$C_{\text{пов}} = 17,8 \text{ МэВ}$$

$$C_{\text{кул}} = 0,71 \text{ МэВ}$$

$$C_{\text{сим}} = 23,7 \text{ МэВ}$$

$$C_{\text{чет}} = 34 \text{ МэВ}$$

Обычно такие числа приводятся



Формула Вайцзейлера - это константа средние для всех

Если мы возьмем два ядра металла типа ${}^{56}\text{Fe}$, то ядра вращаются и будет энергия, если же взять два ядра типа ${}^{56}\text{Fe}$, то при распаде, то же ядро будет выше чем типа.

Радиоактивность.

1896г - открытие радиоактивности А.Беккерель - излучение самой урана. Видели на фотопластинке, увидели, что проходит через бумагу и др. в-ва, оставившаяся пленочкой.

1898г - Э.Резерфорд: увидели что излучение имеет 2 компонента: α -излучение (${}^4\text{He}^{2+}$) и β -излучение (e^-)

1898г - Марии и Пьер Кюри - открывают радий и полоний

1900г - Виллард - обнаружение γ -излучения

1903г - Резерфорд, Содди - при распаде

α -частицы полураспада нов. хим. элементов:



Типы радиоактивных распадов.

α -распад \rightarrow выделение $2p^+$ и $2n^0$ нейтрон
 β^- -распад \rightarrow выделение e^-
 превращение $n^0 \rightarrow p^+ + e^- + \bar{\nu}$
 β^+ -распад \rightarrow вылетает протон, переход \rightarrow нейтрон, выделение e^+ и ν
 из возбужденной $(A^* \rightarrow A)$

то β^- распады на β^- -распад

β^+ -распад \rightarrow превращение протона в нейтрон и позитрон $(p^+ \rightarrow n^0 + e^+ + \nu)$
 и антинейтрино

спонтанное деление - распад ядра на две более или менее близкие составляющие

двойной β^- -распад - выделение двух электронов

протонная радиоактивность - выделение p^+

двух протонная радиоактивность - выделение 2-х p^+

нейтронная рад-ть - выделение n^0

кальциевая рад-ть - вылетает $^{14}_6C$

и много другого...

Необходимое условие радиоактивности

$$M > \sum m_i$$

↑
масса
исходительного
элемента
(ядра)

↑
масса
ядер
появившихся
элементов
в ходе распада.

Закон радиоактивного распада.



Как будет меняться кол-во ядер со временем?

Об условий мало известно.

$$dN = -\lambda N dt$$

const

$$N = N_0 e^{-\lambda t}$$

Среднее время жизни: τ

$$\tau = \frac{\int t |dN/dt| dt}{\int |dN/dt| dt} = \frac{1}{\lambda} - \text{среднее время жизни ядра}$$

Период полураспада: - время за которое число ядер уменьшается в 2 раза.

$$N(T_{1/2}) = \frac{N_0}{2}$$

$$N_0 e^{-\lambda T_{1/2}} = \frac{N_0}{2}$$

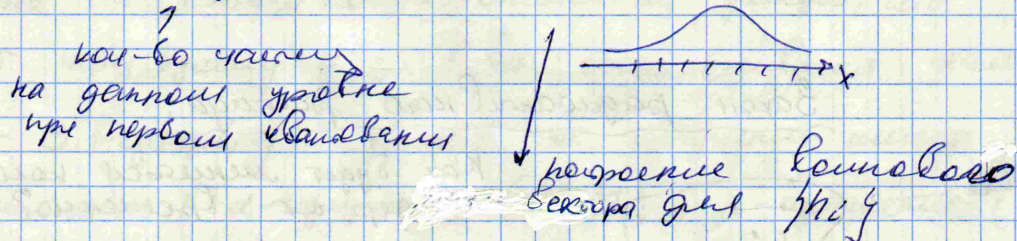
$$T_{1/2} = \frac{\ln 2}{\lambda} = \tau \ln 2$$

Представление о квантовой электродинамике и диаграммы Фейнмана.

1) КВ. эл-ка - взаимодействие частиц и квантов эл/маг поля

2) Вторичное квантование

классич. гравит. - гравит. не квантуется, \neq один фотон (для других будет тоже самое) у него есть $\hbar\nu$, i - отч. частота у фотонов разная, и по велич i мы можем найти энергию одного фотона - это первое квантование. А когда мы говорим, что есть много фотонов и хотим найти сколько частиц в одном состоянии $|n_i\rangle$ - это второе квантование



Элементарно можно \neq гамильтониан не сферич.

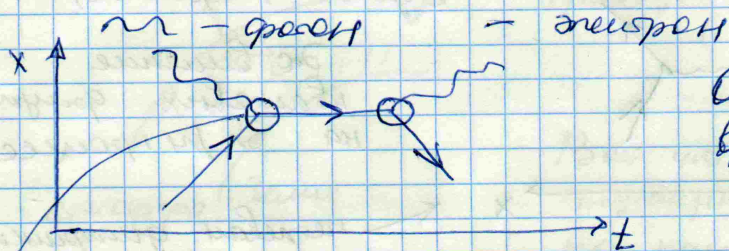
Только эл-маг \neq как сферич. $\hbar\nu(\frac{1}{2} + i)$

или сферич. вектор \rightarrow переход

к векторному вектору $|n_i\rangle$

КВ. эл/маг можно строить как теорию возмущений.

Болтунаев придумал - это придумал
и назвали Фейнман.

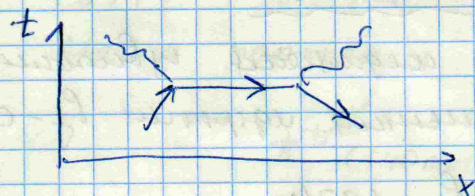


Оси коор-т задаются
время и коор-ту

Это рассеяние Комптона.

Если же время направлено \leftarrow , а координата
просто позитрон, т.е. $\frac{dp}{dt} = E \cdot q$

Тогда получится рассеяние позитрона на фотоне.



Антиимпульс - ранад
электроно-позитрон-
ней парт

Если $\downarrow t$ направлено так - то это рассеяние
эл - позитр. парт.

это вершины. В них энергия не сохраняется
(но вначале и в конце \int не сохр. возмост-
ности)

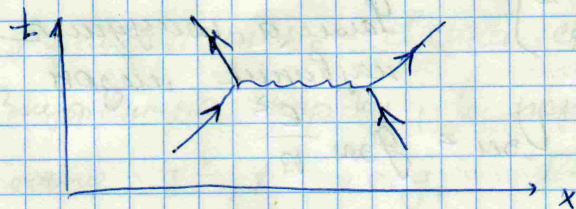
Это связано с принципом неопределенности:

$$\Delta E \Delta t \geq \hbar$$

не существует замечать численно, т.к. происходит
все виды событий.

Эта диаграмма - просто мат. кид объект, визуальное
представление процесса.

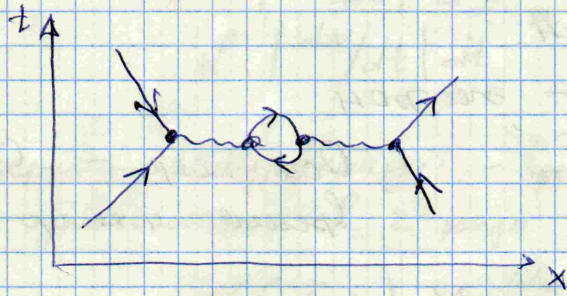
То, что между вершинами - виртуальные частицы
(масса может быть мнимой, комплексной, у
фотона может быть масса нулевая и т.д.)



Сопитование двух
электронов

Взаимодействие двух частиц происходит обмен виртуальными

Эта диаграмма первого порядка - здесь две вершины.



Здесь 4 вершины

Эта высшие
квантовые функции
на этом процессе

← нелевая диаграмма



энергия не равна 0 - функция квантовая

Сильное ядерное взаимодействие.

Нуклоны в ядре не могут соединяться кубическими
камнями, это могут только нуклоны в ядре.

Теорию построил Х. Юкава в 1934г.

Предполагая, что в ядре между нуклонами происходит
с помощью капионов (обмен пионами)

За пределами ядра не может увидеть.

Предполагая, что если масса переносчика равна
0 => время его жизни ∞ , если же масса
есть, то возможно взаимодействие при $\Delta t \leq \frac{\hbar}{mc^2}$

Максимальный радиус действия

$$\Delta r_{max} \approx c \Delta t_{max} \approx \frac{\hbar}{mc}$$

$$mc^2 \approx \frac{\hbar c}{\Delta r_{max}} \approx \frac{\hbar c}{r_{яд}} \approx 200 \text{ МэВ}$$

Энергия капионов γ δ в ядре больше чем у
электрона ($m_e = 0,5 \text{ МэВ}$)
($m_p = 1 \text{ ГэВ}$)

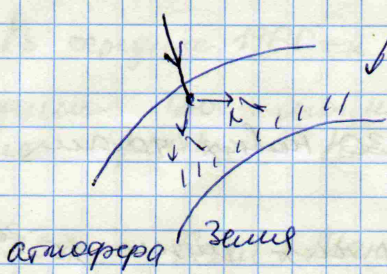
Частица получила
название мезон

Если энергия δ δ δ : $V_{эм} = \frac{e^2}{r}$

Тогда в ядре

$$V = g_{\pi}^2 \frac{1}{r} \cdot \exp\left(-\frac{M_{\pi} r}{\hbar}\right) - \text{нормировка Юкавы}$$

1937г - в космических лучах обнаружили частицы с массой $\sim 100 \text{ МэВ}$



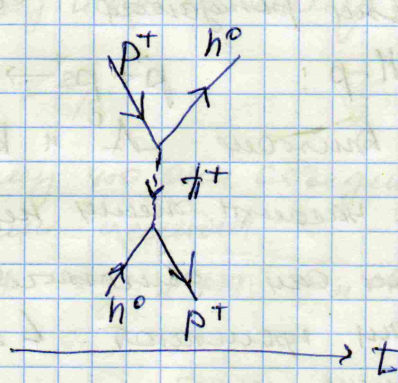
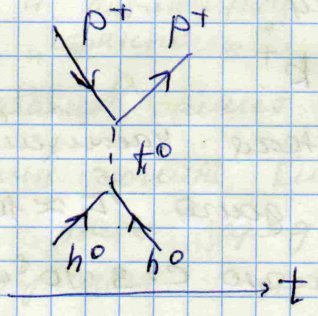
много частиц приходится на землю (либни частиц)

Возьмем предсказанную Юкава

но расчеты показали, что она не может долететь до Земли, скорее докажем, что она много быстрее ρ^+ и π^0 и ей назвали π^+ -мезон (пион)

А пионную частицу назвали только в 1947г - пи-мезон (пион) (нашли в ускорителе) Масса порядка $\sim 130-140 \text{ МэВ}$

π^+ (140 МэВ) π^0 (135 МэВ)



Изотопический спин.

$T_z = 1/2 \leftarrow$ ось пара ρ^+, π^0 } \sim равная масса и свойства
 $T_z = 1 \leftarrow$ ось тройки π^+, π^0 } \rightarrow назвали изотопическое смешивание (по аналогии с явной структурой)

Смешивание связано со спином.

Визуально хар-ку, в первую очередь различать ρ^+ от π^0 , а также π^+, π^0 и т.д., T-изотопический спин.

Кван-во частицы $N \geq 2T + 1$

кванту ρ^+ приписывают $T_z = +1/2$, а $\pi^0 - -1/2$

Эта величина сохраняется при некоторых хим. реакциях, потому что в них.

1940-50 гг - открыто более 30 новых частиц (открыты на ускорителях)

Время жизни большинства из них имеет 10^{-20} с.

Среди частиц попадались те, в которых себе странное. Их назвали странные частицы.

Странные частицы

K -мезоны (капю), Λ и Σ - гипероны

↑
масса меньше
чем масса p

↑
масса
больше чем масса p

Они рождаются всегда парами

Н-р: $p^+ p^+ \rightarrow p^+ \Lambda^0 + K^+$

Вместе Λ^0 и K^+ не являются чужими и античужими.

Эти частицы живут неожиданно долго $\tau \approx 10^{-10}$ с

Если они движутся со скоростью $c = 3 \cdot 10^8$ м/с, то

они пролетают $L \approx 3 \cdot 10^{-2}$ м = 0,03 м ≈ 3 см - до счетчика

Когда возникает проблема вводить новое странное число. Сначала предложили Гелл-Манн, Нисидзума.

Они предложили, что есть внутренняя характеристика, которую можно характеризовать квантовым числом "странности"

У всех других частиц "странности" = 0, а у этих нет.

Вместо быть закон сохранения "странности" \Rightarrow они не равновешиваются за более время. Но сохраняется "странности" только в одной при взаимодействии с сильным ядерным взаимодействием.

Кварки.

В середине 1960-х г. было известно более 100 частиц. Мыслили, что можно сделать - соединить в цукки-нские Фракты. Но они действуют тоже как-то странно,

В 1964г - Гейн-Манн и Цвейг решили проблему.

В жизни подумывали не то было, а странные атомного ядра, и добавили элемент, получили все то же самое,

Аналогично, хотели сделать ядра, объединили в ядро получили все то же самое.

Все понятно, в природе в ходе $U \rightarrow V$ вид нуклонов (сильного ядерного взаимодействия) состоит из кварков.)

Есть антикварки.

Кварки и антикварки имеют одну и ту же массу и радиус "спинного" и заряд.

Заряд кварков имеет $\pm 1/3$ или $\pm 2/3$

Божину мы это не видим? потому что они объединяются так как заряд есть 0 или целый.

Нас окружают u и d кварки от "up" и "down"

u -кварк - $+2/3$

d - $-1/3$

p^+ состоит из uud , а нейтрон n^0 состоит из udd
ион π^0 состоит $(u\bar{u} + d\bar{d})$, π^+ $(u\bar{d})$, π^- $(\bar{u}d)$

u - $+2/3$, \bar{u} - $-2/3$ d - $-1/3$ \bar{d} - $+1/3$

Остальные частицы состоят из кварков в возбужденных состояниях. Возбужденные сильно отличаются от невозбужденного и есть отличие по массе

Три серия кварков объединена, "спинного"

Божину в величии "спинного" кварк S - $+1/3$

S и d похожи, но S тяжелее, чем d

По аналогии подумали, что и для d должен быть аналогичный, но более тяжелый в величии S

В величии c -кварк $+2/3$ - назвали очарованной

Эту частицу назвали протон Σ или ψ , назвали ее ψ только в 1974г - назвали ψ , в названии ψ/ψ

ее масса совпадает $m \approx 3,1 \Gamma \text{ЭВ}$ ее вероятная рендекия мала.

Ее время жизни было в 100 раз больше чем у других тяжелых частиц. \Rightarrow каже-то кварковое число, в это характеризует.

Его назвали очарованным кварковым числом.

Вскоре назвали еще кварки

1977г - Ξ -мезоны ($m \approx 10 \Gamma \text{ЭВ}$)
 \uparrow
 ипсион

Для объяснения ввели еще частицу

b-кварк $-1/3$ назвали
 "beauty" \leftarrow чем d
 назвали назвали "bottom"

В 1993г - назвали t-кварк "top", "truth" $+2/3$
 \downarrow ипсион

u	c	t	$+2/3$
d	s	b	$-1/3$

Чем дальше идём
 \rightarrow тем масса становится больше

У кварков спин $1/2$.

Обнаружились частицы в состоянии ψ
 $\Sigma^-(sss)$, $\Delta^{++}(uuu)$, $\Delta^-(ddd)$

Но это закон Паули запрещает более двух частиц на одном уровне со спином $1/2$.

Возникает проблема \Rightarrow ввести новое кван. число

Ввели Н.Н. Боголюбов и независимо от него М.Хан, И.Намбу, и назвали "цвет"

Принимая во внимание стратегию предположения чтобы ввести что видели удовлетворить.

В квантовой механике (к), (с) и (ае)

$$k + c + ae = 0$$

И в квантовой механике $\bar{k}, \bar{c}, \bar{ae}$ (аналогично)

$$\Rightarrow k + c = \bar{ae}$$

Это необходимо чтобы можно было объединить
полюсы δ Δ^{++}, Δ^{-} кварки.

В стандартной модели мезон π только членов
у δ цвета "цвет" $= 0$.

Одиночный кварк не может π , т.к. его "цвет"
нигде не равен 0, а так же нет членов
у δ его только 2 кварка.

Но все же рассмотрим релятивистские эксперименты.

За счет чего кварки имеют π ?

Фигурируем, что δ -мезон между кварками имеет
приходится за счет какой-то членов.

Оно происходит за счет глюонов E_0 $m=0$,

бегает по глюону, но сам не переносит заряд, а
глюон обладает "цветом"

Но т.к. глюон - безмассовый бозон, то глюон имеет
два "цвета" (т.к. один цвет соответствует фермионам)

Всего получаем 9 комбинаций.

$\bar{k}\bar{e}$ $\bar{k}\bar{s}$ $\bar{k}\bar{ae}$

$\bar{c}\bar{e}$ $\bar{c}\bar{s}$ $\bar{c}\bar{ae}$

$\bar{ae}\bar{e}$ $\bar{ae}\bar{s}$ $\bar{ae}\bar{ae}$

Но $\bar{ae}\bar{ae}$ дает 0 \Rightarrow это
линейно независимых
комбинаций.

Но кварки могут k -добавить с глюоном, глюон с
глюоном, кварки с кварками \Rightarrow ситуация сложная

Но это внутреннее взаимодействие и это кардинально

бо много реальных частиц, есть виртуальные
 поэтому нельзя считать что p^+ состоит просто из
 двух кварков. Там сложное $q\bar{q}$ -вие. Там есть
 масса p^+ много больше чем сумма массы кварков
~~и глюонов~~ ($m_{p^+} \gg m_u, m_d$) поэтому большую
 часть массы получают от взаимодействия.

Конфайнмент

Что происходит когда один кварк пытается
 вырваться из протона? Будет при $q\bar{q}$ -вие двух p^+
 возникает кварк, когда он летит он имеет $u\bar{d}$ \Rightarrow
 возникает глюоны \Rightarrow появляется глюонное поле
 из глюонов масса намного больше и кварки.

Образуются глюонные струны

До замораживания когда
 образуются ещё два кварка



Тогда они $u\bar{d}$ и процесс замораживания и "цвет"
 становится нулевым

Была построена кварковая хромодинамика.

(хром - "цвет", кварковая динамика цветовых
 взаимодействий)

Она является аналогом кварковой электродинамики

Какие соотношения имеет теория Юкавы?

Она является следствием квар. хром-ки.

До аналогично тому, что из теории Максвелла
 можем вывести закон $\vec{d} = \vec{e} + \vec{v} \times \vec{h}$. Гамильтониан.

Слабые ядерные взаимодействия.

Среди ядерных реакций были известны α , β и позже появились уже в известном β -виде.

Туда не входит β -распад.

Если нейтрон не свободный $n^0 \rightarrow p^+ + e^-$
 За счёт чего происходит? (β -распад)

β вид не сохраняет энергии и импульса

\exists недостающее скомпенсированное, но значимое.

В начале 1930-х гг. — предположительно β , Паули но есть ещё частица (Он предположил наличие её нейтрона, но позже обнаружил n^0 , потому её назвали нейтрино, но сейчас известно что это антинейтрино) Но она имеет странные свойства

$$n^0 \rightarrow p^+ + e^- + \bar{\nu}$$

У неё малая масса (известно, что она не 0, но самая масса до сих пор неизвестна)

В 1952 — экспериментально обнаружены $\bar{\nu}$.

В 1932 — Э. Ферми теория слабых связей (30 лет, в смысле отношение к слабому β -виду)



Составил гипотезу Ларантиса

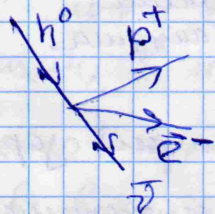
$$G_F = \frac{G_F}{\sqrt{2}} \cdot \frac{\Delta \Delta \Delta \Delta}{p \hbar \cdot e \bar{\nu}}$$

Взаимодействие



Каждый оператор — оператор рождения или уничтожения

Оператор c — добавление электрона, \bar{c} — убирание



Уничтожение нейтрино — рождение антинейтрино

$$G_F = 1,4 \cdot 10^{-42} \text{ Дж} \cdot \text{см}^3$$

Теория слабых взаимодействий по аналогии с квант. электродинамикой. Взаимодействуют слабые ток.

Первый нейтральный ток и электроно-аксионный ток.

Особенность в процессе взаимодействия меняется

Токи в участвующих здесь нуклонов и заряженных (Токи, у в меняются заряды)

В 1968г - построили более общую теорию

Глешоу, Салам, Вайнберг - теория электрослабых взаимодействий.

Теория абан, $U(1) \times SU(2)$ можно построить из того, что должно выполняться преобразование Лоренца ($U(1) \times SU(2)$ - группа симметрии Лоренца)

Теория охватывает и электродинамику, и слабые $U(1)$ взаимодействия и э/м ток, и слабые $SU(2)$ взаимодействия

Лараншман, в популяризации Ферми. Все ждем

за теория построены и фотон, и переносчики сл. $U(1)$

W^\pm, Z^0 - бозоны. Если подставить время между n^0 ,

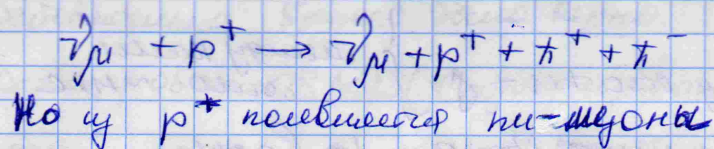
∞ можно предсказать их массу ($m = 90 \text{ ГэВ}$)

Это стало позже найдено.

Вскоре выдвинули: $U(1)$ - взаимодействие с нейтральными токами



Фотон имеет $U(1)$ $U(1)$ нет изменения заряда от $U(1)$ - взаимодействие нейтрально (более детально подробно)



Нейтрино,

Идею нейтрино предложил в 1930г - Паули
Эта частица должна слабо вступать в В-взаим (т.к. она
не была обнаружена)

1934г - Ферми (разрабатывал теорию α -распада, β в
она играет большую роль.)

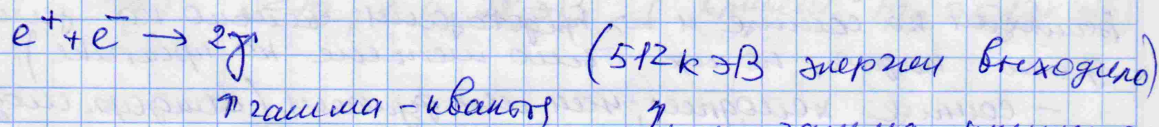
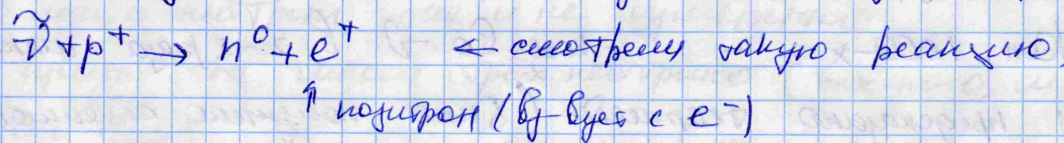
1955-56гг - Обнаружение нейтрино (НП 1995)

Кл. Коуэн и Фр. Рейнес.

Нейтрино много где есть естественные реакции β в
и происходит β -распад (были работы) рядом с реактором.
Самыми главными источниками являются космических
мюонов (эксп. реактор эти под землей и там с
ними мало в β можно было наблюдать детектор)

Детектор: H_2O и C_2Cl_4
 \downarrow
 Взаимодействие p^+ ^{нейтрино} ^{каждый}

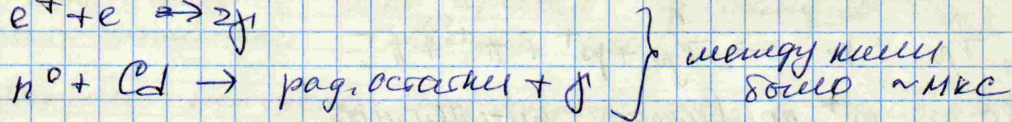
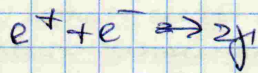
Хотели заставить реакцию идти в обратную сторону



Но e^+ может возникать у-я ^{т.к. гамма излучения}
 радиации, в и так есть. \rightarrow родился позитрон
 косм. излучения и

Для того чтобы C_2Cl_4

n^0 в β -взаим с Cl и маленькой группой (радиоактив.
 реакции и еще один гамма-квант γ (порядка МэВ)



мешу кими
было \sim мкс

Для измерения периода жизни была 1-я вода,

кон. 1950-х - открытие нейтринного

было открыт мюон (аналог электрона, только тяжелее)
Фредриксон, но есть более тяжелой нейтрино,

1961-6222 - Мюдерман, Шварц, Штейнбергер

Федерман - подмалы ν_{μ} (аналогично как делалась для ν_e) (НТТ 19582)

номе - открытие тау-нейтрино,

получили три вида нейтрино,

Свойства нейтрино:

Сечение ν -взаимодействия нейтрино $\sigma_{\nu p} \sim 10^{-43} \text{ см}^2$

Длина пробега в веществе (где вода) $\lambda \sim 100-1000 \text{ св. лет}$
(галактику пролетит без взаимодействия с чем-либо)

На земле поток нейтрино очень велик

На поверхности Земли поток нейтрино $\sim 10^{10} - 10^{11} \frac{\text{нейтрино}}{\text{с} \cdot \text{см}^2}$

С тоскою была связана проблема!

Проблема солнечных нейтрино!

Кон. 1960-х - кол-во ν в 2-3 раза меньше,

чем предсказано теорией, (было получено сечение кол-во
вещества на солнце и \Rightarrow предсказали сечение на земле
должно падать, но их было меньше на практике)

- солнце холоднее, чем мы думаем (осиндер. модели)

- $\nu_e \leftrightarrow \nu_{\mu}$ самопроизвольно могут превращаться
(проис в процессе распространения)

Ничего не изменилось ν начал как суперпозицию
двух каналов. В фазовой член будет $e^{i(\omega t + \omega z)}$

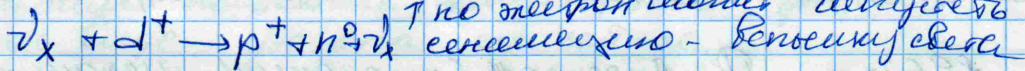
меньше \Rightarrow будет переходить у одного в другое

до нач-ся нейтринные осцилляции

Действительно более точно верно.

Демонстрация SNO (Садбери, Канада) 2001-2002г.

Здесь 1000т тяжелой воды D_2O (с.б. содержит ν -вид больше). Снабренна след. реакцией:



↑ но нейтрон может превратиться
сверхсветово - быстрее света

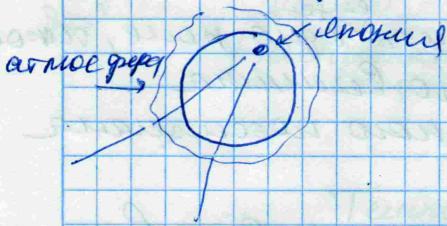
На этих реакциях было обнаружено все три нейтрино
но не от солнца, а от реактора.

Детектор Super Kamikande (Япония) Т. Кагуява

50 тое. тонн воды (озеро под землей)

Цунами $\bar{\nu}_e$ и $\bar{\nu}_\mu$ от космич. мучей.

(Можно увидеть от луня приливов)



Если пострелить зарядик
яв-ся кол-во нейтрино
от распада (учет
прихода)

И этот зарядик совпадает (совпадает)
с теорией выходящей нейтрино.

НП 2015г.

Только если есть масса, то могут быть нейтрино
существующим (триней и нейтрино разные массы)

Но масса нейтрино так и не измерена.

Но известно что масса трех нейтрино (электрон, мюон
ней и тау) $\sum m_\nu < 0,28 \text{ эВ}$. (вместе $m_e = 512 \text{ кэВ}$)

Бозон Хиггса.

В теории ГСВ: $m=0$
 ↑ всех частиц

В следствии симметрии

Эксперимент. факт - что $m \neq 0$.

Как не сильно изменив теорию сделать её похожей на
 ферми-факт (т.е. чтобы появилась масса)

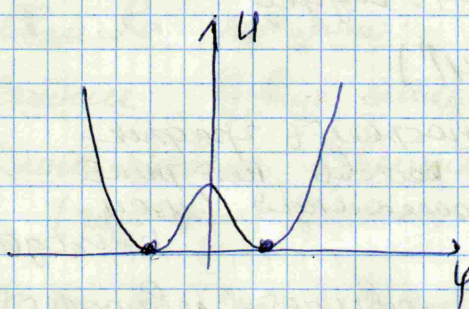
1962 - Ф. Андерсон (предложил механизм)

1964 - было три работы от Фейнмана

Одну - П. Хиггс, вторую - Р. Браут, Ф. Энглерт,

третью - Т. Гуральник, К.Р. Хален, Т. Кибби.

НТТ 2012, получили только Хиггс и Энглерт.



Симметрич. ситуация
 не обязательно удовлетворяет,
 было еще одно поле, которое
 что его величина
 сим-рию нарушила
 такая

Из-за любой спонтанной деформации ϕ .

$\Rightarrow \phi \neq 0 \Rightarrow$ получаем несимметрию

(спонтанное нарушение симметрии)

(Н-р, теплая бездумная теория)

Зачем это поле? Если это поле будет ϕ -связь
 с другими полями, то оно будет привносить
 массу ϕ частиц. (она отрицательная?)

каждая точка ϕ -ва одинаковая.

Несимметрич. имеет энергию.

Может быть и наоборот, энергия.

$\rho^+(\chi, \psi)$ масса поля χ варьировать
 чем масса ρ^+

Это поле назвали поле Хиггса. Он единственный
 - единственная бозонная

- Наверное всё дело в жаре, в них не видишь, но это там много \Rightarrow датчик увидит.

- Можно там есть фьюды нашей массы. Но тогда их там должно быть очень много - такого не может быть.

- Черные дыры (средней массы не видны) но откуда брать столько черных дыр. Тем более что они рождаются при большом взрыве (большой фьюды)

Но может они рождались на заре рождения Вселенной? Но всё равно не одна штука, да и на планете сколько не может.

- наиболее рабочая версия: огромная масса обжигается нашими телами ν -то, в смысле ν частиц, в слабо ν -то и их мы не знаем.

Классификация элементарных частиц

1. Элементарность (фундаментальность)

Есть неопределяемая элементарность.

маленько элемент-ные (фундаментальные)

Нет дои-ла что у них есть видны структура

Электрон, тау-электрон, мюон, нейтрино, кварки, глюоны, глюоны, комбинированные

Бозоны (W^\pm, Z^0), бозон Хиггса

сложившиеся

Те что состоят из элементарных

$H^+, P^+, n^0, \text{протон}, \text{каолн}$

(их еще называют элементарными, с.т. особенно кварки не могут наблюдать)

Атом или ядро является более высоким уровнем организации

2. Класс-ность по составности

Составившие

Электрон
(за счет J^c электр не имеет слабо взаимодейст ν -то)

Несоставившие

нейтрон
протон
мюон

Резервист

Может ли кварки взаимодейст ν ядра и слабо более свободной

Для сохранения
заряда и момента
импульса

пробит (ветвь)
частица

нейтрино
(описательно слабее)
имеет очень малую
известно экспериментально
(если есть, то она
слабая, если есть,
то это разные частицы,
а не слабее)

Когда выделит ток
в виде с глюонами и
кварками, в характерен
для резонанса

3. По величине силы

↓
базоны
фотон, глюоны
 W^+ , Z^0 -базоны
базон Хиггса

↑
фермионы
нейтрино,
электрон,
кварки
(более их ветвь ветвь)

Это как бы поле
(переносчик γ -вещь)
это удобное разделение.

это как бы вещество
(состав вещества)

Фундаментальные взаимодействия

Теория γ -вещь + зарядов = это все что нужно
(стандартная модель)

ослабевает по
отраслям-массе
или γ -вещь

Сильное ядерное	1
Эл/м γ -вещь	$\alpha \approx 10^{-2} = \frac{e^2}{\hbar c}$
Слабое ядерное	$\alpha_w = \frac{G_F}{\hbar c} \left(\frac{\hbar}{m_p c}\right)^4 \approx 10^{-5}$
Гравитационное γ -вещь	$\alpha_G = G \frac{m_p^2}{\hbar c} \approx 10^{-38}$

Теория
квантовая
хромодинамика
кв. электродин.
Теория ферми
Теория ферми
Общая теория
от ГМ
(либровая теория?)
гравитации

Для электрона и протона они будут
равны, но можно введи
безразмерные величины, в
будут хар-ть γ -вещь
иметь при резонанс и
распаде частиц.

α - постоянная
сильной структуры
 α_w - константа слабого
 γ -вещь

Если частица распадется, то вероятность что это будет
сильное ядерное γ -вещь в 100 раз больше чем вероятность
что это будет γ -вещь.

Когда распадется составная частица, то распадется она не на

судя о ширине γ -вещ (она не может измерить
сравнень), а радиус действия свет слабее

Т.к. гравитация масса, то в другие элементы. Частич
она не как себе не превращает

<u>Заряд</u>	<u>Переносчик</u>	<u>Радиус действия</u>
Целый заряд (кубы)	Глюоны (противоположно \pm и 0)	10^{-15} м
Электрич. заряд	Фотон	∞
Слабый заряд	W^{\pm}, Z^0 -бозоны	10^{-18} м
Масса	гипотетически: гравитон (экспер. не доказано)	∞

Радиус действия - зависит на γ и β -вещ спадает
уже экспоненциально

переносчик массивен и из-за принципа неопределенности
мало время жизни (его эксп. составитель)

→ глюон передает другой глюон и поэтому быстро себя
растрачивает → тоже мало время жизни → его эксп. измеритель

Законы сохранения

Если координаты, они равны, получаем, ищем
знаем, что больше и что в начале (что в среднем не ждем)

К требованиям для сохранения добавим еще условия

1. Закон сохранения энергии - инвариантность относительно сдвига во времени
2. Закон сохранения импульса - инвариантность относительно сдвига в пространстве
3. Закон сохранения момента импульса - инвариантность относительно вращений

$$\frac{\partial H}{\partial \varphi} = 0 \Rightarrow p_{\varphi} = const$$

$$\frac{\partial H}{\partial x} = 0 \Rightarrow p_x = const$$

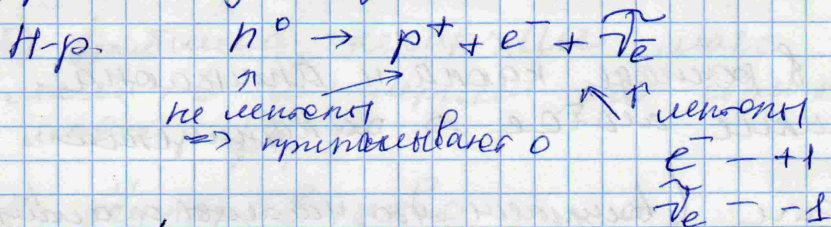
$$\frac{\partial H}{\partial t} = 0 \Rightarrow H = const$$

4. Закон сохранения заряда - инвариантность относительно сдвига фазы \Rightarrow / или непрерывности

5. Закон сохранения лептонного числа

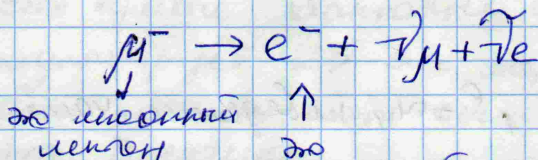
Каждо элементарно до и после взаимодействия
 в вакууме должно быть одно в сумме (электрону
 приписываем +1, для позитрону -1)

Лептон - частица, в не принимает участия в сильных
 ядерных взаимодействиях: электроны и нейтрино



получаем $0 = 0$.

(ЗС электрического, лептонного, и суммарного лептонного числа)



дадим
 систематизация
 \Rightarrow добавим ν_μ - лептон
 нейтрино - он компенсирует μ ,
 поэтому $\bar{\nu}_e$ вылетит e^-

Для нейтральных осциллирующих ЗС ЛЧ не сохраняется

6. Закон сохранения Барьонного числа.

Барьон - состоит из трех кварков

Бар-ное число должно сохраняться

Барьонное число = $\frac{N_q - N_{\bar{q}}}{3}$

N_q - число кварков $N_{\bar{q}}$ - число антикварков

(Равное барьонно-лептонное число как и в ядерной
 реакции)

7. Закон сохранения странности, очарованности и др.

8. З. с-тия четности Число - инвариантность
 относительно обращения
 координат (замена $\vec{r} \rightarrow -\vec{r}$)

P - инвариантность (parity) А для слабых не
 действует.

9. CP-инвариантность

C-charge (зарядовое)

C-инвариантность (заменяем $+q \rightarrow -q$, частицы - античастицы)

(минимально сохраняются)
 1-6 - общие законы

распад $\pi^0 \rightarrow \rho^+ + e^- + \bar{\nu}_e$ идет также как
распад $\pi^0 \rightarrow \rho^+ + e^+ + \bar{\nu}_e$

Инвариантов есть всегда тогда или одновременно
уменьшим $\vec{p} \rightarrow -\vec{p}$ и заменим на античастицы

Оказалось что в распаде каона и антикаона
разное \Rightarrow разные массы \Rightarrow нарушение
CP-инвариантности (возникает что заряды и антизаряды
по разному себе ведут.)

10. CPT-инвариантность.

CPT теорема: Все ψ -ны, δ -ны, поведение заряды,
длина волны одинаково если заменим заряды на
антизаряды (C-ин-во), заменим $\vec{p} \rightarrow -\vec{p}$ (P-ин-во)
и заменим $t \rightarrow -t$ (T инв-во) (до дикр. в. кроме
урав. Шредингера)

Если есть нарушение CP-ин-ти, то чтобы сохранилось
CPT нужно чтобы и T нарушалось \Rightarrow если неравенство
времени.

CPT выполняется всегда.

За пределами стандартной модели.

Станд. модель охватывает все процессы, в пределах δ
командере. Но есть случаи, где она не работает.

1) Осцил. нейтрино (из станд. модели никак не следует)

2) Отношение δ дипольных с B-мезонами

$B(\bar{b}\bar{q})$ δ (не только отдельные мезоны)
↑ \bar{b} кварк \bar{q} антикварк
↑ \bar{q} антикварк

3) Стан. модель - ядер нейтральных нейтрино
Арбитра, великого объединения "

(ТВО, ВИТ)

4) Множество свободных параметров (~ 20)параметры, в численные гипертексты и подставляются в формулу, особенно (α , α_m , масса частицы и т.д.)

5) Проблема иерархии масс (массы, в мн мерном они отличаются во много раз.)

6) Проблема беззвезд

7) Проблема энергии вакуума

(Есть квантовые флуктуации, Если что-то флуктуирует \Rightarrow есть энергия.

Если попытка эти флуктуации получить большую энергию

+ проблема темной энергии

(Вселенная расширяется умеренно (что приводит к ее ускорению?)

связь давления ~~связанная~~ с энергией

8) Проблема квантования гравитации.

Гравитация есть, а квантовая не может.

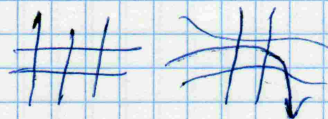
Квантовая теория гравитацииУ Ньютона гравитация имеет $F \sim \frac{m^2}{r^2}$

проблема — гальванодействие

Эйнштейну это не нравилось, боровшаяся общепринятая

от-ко: гравитация не сила, а искривление пространства и времени.

Все является операцией, но не время

у ОТО \Rightarrow гравитация (если масса есть)Мы можем проинтегрировать гравитацию (масса $\rightarrow m \neq 0$)

Но энергия очень мала

масса $\rightarrow S \approx 2$
энергия

1. Предполагаем что время и пространство дискретно
Но между ними должна быть связь - константа.

Величина дискрета мала; (безливая теория
квантовой гравитации)

$$l_p = \sqrt{\frac{\hbar G}{c^3}} \approx 10^{-35} \text{ м}$$

И не можем никакими приборами
померить

$$\tau_p = \frac{l_p}{c} =$$

2. Теория струн

Все частицы - это струны, колеблющиеся между ν
и $\bar{\nu}$ (как они колеблются, так они (частицы)
и античастицы)

Нужно 10 измерений чтобы все убралось.

Здесь сведений параметров 10^{30} штук

Она работает на масштабах, ν кванта энергии.